

МІНІСТЕРСТВО ОСВІТИ І НАУКИ УКРАЇНИ
СУМСЬКИЙ ДЕРЖАВНИЙ УНІВЕРСИТЕТ
ФАКУЛЬТЕТ ТЕХНІЧНИХ СИСТЕМ
ТА ЕНЕРГОЕФЕКТИВНИХ ТЕХНОЛОГІЙ
КАФЕДРА ПРИКЛАДНОЇ ГІДРОАЕРОМЕХАНІКИ

КВАЛІФІКАЦІЙНА РОБОТА БАКАЛАВРА

на тему

Розробка пластинчатого гідромотора $V=144\text{ см}^3 P=6,3 \text{ МПа}$ n=960 об/хв

зі спеціальності

Гідравлічні машини, гідроприводи та гідропневмоавтоматика

Виконавець роботи Сисенко Валерій Валерійович
призначене ім'я по батькові

підпис, дата

Науковий керівник

Кандидат технічних наук, доцент
науковий ступінь, учене звання

Ігнатьєв Олександр Савич
призначене, ім'я, по батькові

31.05.18

підпис, дата

Суми 2018

РЕФЕРАТ

Пояснівальна записка: 59с., 4 рисунки, 20 літературних джерел.

Тема роботи «Розробка пластиначатого гідромотору $V=144\text{cm}^3$,
 $P=6,3\text{MPa}$, $n=960\text{об/хв}$.

Графічні матеріали: Складальні креслення: мотора, бака, установки,
агрегата на базі загальним обсягом 4 формата А1.

Мета роботи – визначення розмірів складових частин насоса.

Відповідно до поставленої мети знайдені розміри:

- ротора;
- статорам;
- пластини;
- пазів;
- каналів;
- вікон.

У розділі технологічна частина розроблені маршрути карт
виготовлення валу.

У розділі економіка розраховані кошторис виготовлення валу.

У розділі охорони праці розглянуте питання причини промислового
травматизму і професійної захворюваності.

Ключові слова: МОТОР, РОТОР, СТАТОР, ПЛАСТИНА, КОРІНУС,
ВАЛ.

Зміст

Завдання

Реферат

Вступ.....	5
1 Конструкція та принцип дії.....	10
2 Гіdraulічні розрахунки.....	12
3 Силовий розрахунок.....	18
4 Розрахунки на міцність.....	24
5 Технологічна частина.....	34
6 Розрахунок собівартості.....	48
7 Охорона праці.....	54
Висновок.....	57
Список літератури.....	58

Ізм.	Лист	№ докум.	Підпись	Дата	6.05050205.18БР.000.00 п3		
Разраб.		Сисенка					
Пробер.		Ігнатієв					
Реценз.					Розробка пластинчатого гідромотора		
Н. Контр.		Алексєєнко			V=144 см ³ , P=6,3 МПа n=960 об/хв		
Чтврт.						БР	4
							59
						СумДУ, ГМ-Ч1	

ВСТУП

Багато галузей промисловості мають потребу в швидко дійних, енергосмінних, автоматизованих приводах обертального типу з широким діапазоном зміни передавального відношення. Найбільше застосування такі приводи знайшли в будівельних, дорожніх, вантажопідйомних і сільськогосподарських машинах, металургійному і транспортному машинобудуванні, суднобудуванні і авіації, робото-технічних системах і технологічному устаткуванні.

Відомо, що зі всіх типів без ступінчатих приводів обертального типу найкращі ваго-габаритні показники і динамічні якості забезпечує об'ємний гідропривід. Значну частину обмежень, які були до останнього часу, що накладаються на номенклатуру і типорозміри гідромашин великої потужності, на даний момент дозволило зняти освоєння вітчизняною промисловістю нових типів гідромашин.

В той же час досвід показує, що зі зростанням потужностей, що передаються, застосування гідропередач по традиційній схемі насос — мотор (повно потокових) викликає труднощі, а іноді стає неможливим через складність забезпечити необхідні ваго-габаритні показники і ККД [14]. Цю обставину особливо слід враховувати в тих випадках, коли планується використовувати гідропередачу в тривалому режимі навантаження: значні (до 20 % і вище) втрати потужності можуть звести наївець переваги, що одержуються за рахунок без ступінчатого регулювання і автоматизації. Важливим резервом на шляху розширення області застосування освоюваних гідропередач і поліпшення якості приводів на їх основі є використовування багато поточності, коли об'ємний гідропривід встановлюється в паралельній гілці і передає тільки частину всієї потужності, що підводиться до вхідного валу.

Кінематична складність передачі, її здатність навантаження, закони зміни кінематичних і навантажень показників режиму роботи гідромашин залежать від рангу диференціального механізму і схеми з'єднання гідромашин з його основними ланками, що в сукупності визначає тип передачі. При їх дослідженні основна увага надається наступним питанням [10,12]: розподілу потоків потужності усередині передачі, співвідношенню між діапазоном регулювання варіатора і

Ім'я, Фамілія	Ім'я, Фамілія

Ар.	Змін.	№ докум.	Нідн.	Дата:

Арк.

5

передачі в цілому, умовам виникнення замкнутої (циркулюючої) потужності і можливості її усунення, методам розрахунку ККД.

Методи розрахунку ККД, засновані на розподілі потоків потужності, стають некоректними, оскільки в районі нульових гідралічних потужностей поняття ККД гідроприводу втрачає значення. З позиції об'ємного гідроприводу (повно потокових гідро-об'ємних передач) незвичайно є робота гідромашин у складі ОГМП: кутова швидкість насоса змінюється до нуля, нульові значення приймає параметр регулювання гідромотора, в процесі зміни передавального відношення змінюються режими роботи гідромашин при незмінних режимах роботи вхідної і вихідної ланок передачі.

У зв'язку з цим ОГМП можна розглядати як клас передач, методи аналізу і синтезу яких представляють самостійний науковий напрям з метою виявити специфічні властивості ОГМП як комбінації диференціального механізму і об'ємного гідроприводу і підготувати теоретичні основи розрахунку і проектування, що забезпечують реалізацію переваг, закладених в самій ідеї створення передач із розгалуженим потоком потужності. Вітчизняні і зарубіжні дослідження у галузі об'ємних гідромеханічних передач дозволили досягти певних успіхів.

Головна мета застосування гідромеханічних передач (гідро-об'ємних трансмісій — ГОГ) на тракторах, рівно як і на інших транспортних засобах, — підвищення їх продуктивності в результаті збільшення коефіцієнта завантаження двигуна, полегшення управління трактором (немає трудомістких операцій, пов'язаних з управлінням зчепленням і коробкою передач) і забезпечення кращої маневреності, що викликає зменшення витрат часу на повороти. Причому продуктивність підвищується незважаючи на менший (приблизно на 10 %) ККД ГОГ порівняно з ККД механічної трансмісії [12]. Так, при установці на трактор МТЗ-50 ГОГ, замість механічної трансмісії коефіцієнт завантаження двигуна збільшився на оранці від 0,827 до 0,894, на прибиранні картоплі від 0,791 до 0,947, а на посіві зерна від 0,626 до 0,765. В результаті цього продуктивність трактора зросла при оранці, дискуванні, культивaciї і посіві на 6... 18%, при скошуванні трав і зернових культур на 16 ... 18 %.

Ном. звернення	Підп. звернення
Ном. звернення	Підп. звернення
Ном. звернення	Підп. звернення

Ар.	Змін.	№ докум.	Підп.	Дата

6

Арк.

при прибиранні кукурудзи, буряка, картоплі і перевезенню вантажів на 18 ... 30 %, витрати часу на повороти трактора зменшуються на 30 ... 35 %. В результаті проведених фірмою "Інтернешнл Харвестр" (США) порівняльних випробувань універсально-просапного трактора класу 1,4 з гідро-об'ємної і механічної трансмісіями одержано, що ГОТ збільшує продуктивність трактора при підборі і брикетуванні сіна на 28,9 %, на вантажних роботах до 24,9 %, при заготовці фуражу до 25,4 % і при оранці до 7,4 %. Невзажаючи на перелічені переваги, на сільськогосподарських тракторах ГОТ не знайшли широкого застосування. За кордоном випуск тракторів з ГОТ складає 2 ... 3 % від загального їх випуску. Широке застосування ГОТА на тракторах стримує лише одна причина — їх висока вартість (трактор з ГОТ за даними фірми "Інтернешнл Харвестр" на 20 % дорожче, ніж трактор із звичайною механічною трансмісією). Висока вартість пояснюється тим, що трактор має двигун порівняльно-високої потужності і вся вона передається через ГОТ, а також тим, що для трактора потрібен ГОТ з великим діапазоном зміни передавального числа, — все це викликає необхідність застосування гідромашин великого робочого об'єму.

Використовування ГОТ на міських автомобілях є перспективним з погляду економії енергетичних ресурсів [10,12]. В результаті застосування гідроакумулятора ГОГ дозволяє здійснити рекуперацію енергії при гальмуванні автомобіля і завдяки цьому зменшити витрату палива (для міського автобуса на 30 %). Одночасне зниження витрати палива в результаті використовування двигуна на оптимальних режимах і рекуперації енергії складає 40 %. При застосуванні спеціальної ГОГ можна знизити витрату палива при русі в місті на 50 %. Принципова схема такої ГОТ показана на рис. 1 [40]. Застосування гідроприводів у верстатобудуванні дозволяє спростити кінематику верстатів, знизити металоємкість, підвищити точність, надійність і рівень автоматизації [4]. Широке використовування гідроприводів у верстатобудуванні визначається рядом їх істотних переваг перед іншими типами приводів і перш за все можливістю отримання великих зусиль і потужностей при обмежених розмірах гідро-двигунів. Гідроприводи забезпечують широкий діапазон без

Підп. зупинка
Зам. инв. №
Номер зупинки
Підп. зупинки
Підп. зупинки

Арт.	Змін.	№ докум.	Підп.	Дата

Арк.
7

ступінчатого регулювання швидкості (за умовах хорошої плавності руху), можливість роботи в динамічних режимах з необхідною якістю переходних процесів, захист системи від перевантаження і точний контроль діючих зусиль.

У сучасних верстатах і гнучких виробничих системах з високим ступенем автоматизації циклу потрібна реалізація безлічі різних рухів. Компактні гідродвигуни легко вбудовувати у верстатні механізми і з'єднати трубопроводами з насосною установкою, що має один або два насоси. Така система відкриває широкі можливості для автоматизації циклу, контролю і оптимізації робочих процесів, застосування копіювальних, адаптивних або програмних систем управління, легко піддається модернізації, містить, головним чином, уніфіковані вироби, що серійно випускаються спеціалізованими заводами. До основних переваг гідроприводу слід віднести також достатньо високе значення ККД, підвищенну жорсткість і довговічність. Гідроприводи мають і недоліки, які обмежують їх використання у верстатобудуванні. Це втрати на тертя і витоки, що знижують ККД гідроприводу і викликають розігрівання робочої рідини. Внутрішні витоки через зазори рухомих елементів в допустимих межах корисні, оскільки покращують умови змащування і тепловідводу, тоді як зовнішні витоки приводять до підвищеної витрати масла, забруднення гідросистеми і робочого місця. Необхідність застосування фільтрів тонкого очищення для забезпечення надійності гідроприводів підвищує вартість останніх і ускладнює технічне обслуговування. Працездатність гідросистем різко знижується при попаданні повітря і води в мінеральне масло. Зміна в'язкості масла при його розігріванні приводить до зміни швидкості руху робочих органів. Вузли гідроприводу вельми трудомісткі у виготовленні. У зв'язку з наявністю внутрішніх витоків ускладнена точна координація рухів гідродвигунів. Для обслуговування гідрофікованих верстатів потрібен фахівець-гіdraulік. Критичний аналіз приводів різного типу стосовно конкретних умов того чи іншого верстата дозволяє вибрати оптимальне технічне рішення. Застосування проміжного енергоносія (мінерального масла) доцільне лише в тих випадках, коли переваги гідроприводу мають вирішальне значення. Якщо привід може бути успішно реалізований засобами гіdraulіки або

Ім'я, Фамілія	Ім'я, Фамілія

Арт.	Змін.	№ докум.	Неділ.	Дата

Арк.

8

електрики, перевага повинна бути надана останній. Найбільш ефективне застосування гідроприводу у верстатах з повертально поступовим рухом робочого органу, у високоавтоматизованих багатоцільових верстатах, агрегатних верстатах і автоматичних лініях, гнучких виробничих системах. Гідроприводи використовуються в механізмах подач, зміні інструменту, затиску, копіювальних супортах, пристроях для транспортування, урівноваження, розвантаження, фіксації, усунення зазорів, перемикання зубчатих коліс, приводу насосів, блокувань, прибирання стружки, переміщення огорож, повороту столів і револьверних головок, переміщення пінолей тощо. Гідроприводами оснащуються більш третини промислових роботів, яких випускають у світі.

При правильних конструюванні, виготовленні і експлуатації гідроприводів їх недоліки можуть бути зведені до мінімуму. Заводи постійно працюють над підвищеннем технічного рівня своєї продукції, з метою підвищення її конкурентної спроможності на внутрішньому і зовнішньому ринках. Ця проблема є комплексною і вона може бути вирішена при рішенні цілого ряду окремих під задач, а саме: проведення комплексу науково-дослідних і дослідно-конструкторських робіт, упровадження на підприємствах систем управління якістю, в чому не останню роль виконує підготовка висококваліфікованих фахівців, що беруть участь у всіх стадіях життєвого циклу виробу.

Однієї з складових частин гідроприводу, що виступає в ньому джерелом енергії, є насос [4,7]. Насос перетворює енергію руху провідної ланки (валу) на енергію потоку робочої рідини (масла) за рахунок зміни об'єму робочих камер, герметично відокремлених одна від одної. Самовсмоктуючі насоси створюють вакуум у камерах, об'єм яких збільшується, внаслідок чого масло всмоктується з бака, і одночасно витісняють масло з камер, об'єм яких зменшується; не самовсмоктуючі насоси реалізують лише останню функцію. У верстатобудуванні переважне застосування одержали пластинчасті (тиск до 6,3 або до 16 МПа) й аксіально-поршневі насоси - на більш вищий тиск.

Інв. № (ІДДІ)	Ном. інв.	Вид. інв. №	Ном. № авт.	План. інв.

Ар.	Змін.	№ докум.	Підп.	Дата

9

Арк.

1. КОНСТРУКЦІЯ ТА ПРИНЦІП ДІЇ НАСОСУ.

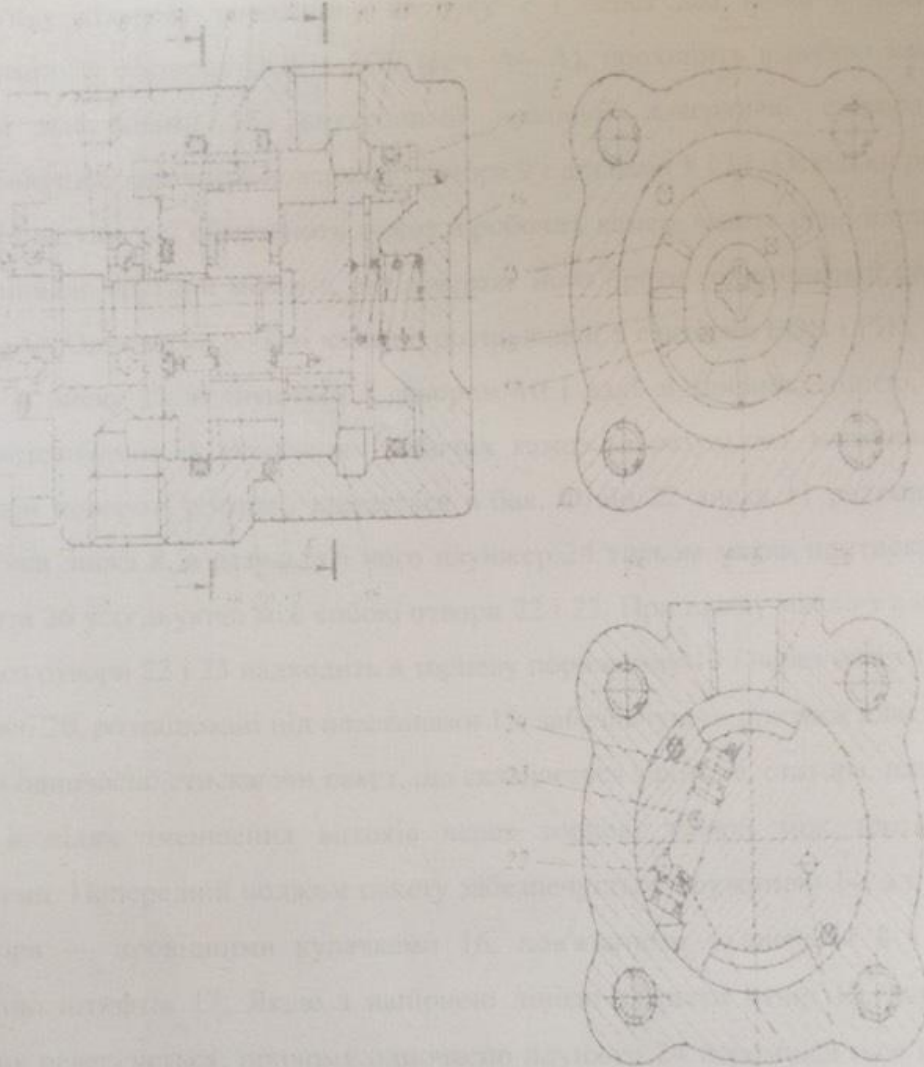


Рисунок 1 – Схема пластинчатого насосу

На рис. 1 зображене гідромотор пластинчастий Г16-15АМ (рис. 1) складається з наступних основних деталей і вузлів: ротора 9, статора 19, дисків 8 і 11, пластин 15, вала 1, встановленого на підшипниках 4 і 6, корпуса 7, кришки 12, пружини 14, фланця 3 з ущільненням 2, провідних кулачків 16 і золотника 24.

При роботі гідромотора масло підживляється в один з отворів 10 (21) і одночасно через інший отвір 21 (або 10) відводиться в зливну лінію; отвір 5

Номер документа	Ім'я і прізвище

Ар.	Змін.	№ докум.	Підп.	Дата	Арк.
					10

з'єднується з дренажною лінією. Якщо з напірною лінією з'єднате отвір 21, масло надходить у кільцеву порожнину корпусу 7 і через два вікна в диску 8, розташованих в секторах ВОГ і ДОЕ (сеч. А—А), проходить в робочі камери, обмежені пластинами 15, внутрішньої овальної поверхнею статора 19, зовнішньою циліндричною поверхнею ротора 9 і дисками 8 і 11. Оскільки робочі поверхні пластин, які обмежують кожну з робочих камер, мають різні площини, на роторі виникає крутний момент, що повертає його проти годинникової стрілки (сеч. А—А). Одночасно робочі камери, розташовані в секторах ЕОВ і РІК, через вікна 25 в диску 11 з'єднуються з отвором 10 і далі зі зливною лінією, тому масло, витесняємоє із зазначених робочих камер (в результаті зменшення їх обсягу при повороті ротора), зливається в бак. Отвір 22 диска 11 розташоване проти вікна лиска 8, в результаті чого плунжер 24 тиском масла притискається до штифта 26 у з'єднуючі між собою отвори 22 і 23. При цьому масло з напірної лінії через отвори 22 і 23 надходить в торцеву порожнину 13 і через отвір 18 — в порожнину 20, розташовані під пластинами 15, забезпечуючи притиск пластин до статора і одночасно стискаючи пакет, що складається з ротора, статора, пластин і дисків, в цілях зменшення витоків через торцеві зазори між терціовими поверхнями. Попередній поджим пакету забезпечується пружиною 14, а пластини до статора — провідними кулачками 16, пов'язаними з дисками 8 і 11 за допомогою штифтів 17. Якщо з напірною лінією з'єднати отвір 10, напрямок обертання реверсується, причому одночасно плунжер 24 переміщується вниз до упору в штифт 27, забезпечуючи з'єднання отвори 23 з напірною лінією. Оскільки ротор гідрравлічно урівноважений, підшипники 4 і 6 розвантажуються від радіальних зусиль.

Номер документа	Підпільник
Мін. № 3552	Іванов М. С.
Ім'я, фамилія	Іванова Марія Степанівна
Підпільник	Іванова Марія Степанівна

Ар.	Змін.	№ докум.	Підп.	Дата

2. ГІДРАВЛІЧНІ РОЗРАХУНИ КИРОБОЧИХ ОРГАНІВ

2.1 Знаходимо найбільший ексцентризитет

$$e_{\max} = k \sqrt[3]{\frac{q}{2\eta_0}},$$

де q - робочий об'єм, cm^3 ,

$$q = 144.$$

η_0 - об'ємний ККД,

$$\eta_0 = 0,93.$$

k - поправочний коефіцієнт.

При $q < 200$; $k = 1$;

При $200 < q < 500$; $k = 0,8$;

При $500 < q < 4000$; $k = 0,6$.

Тоді $e_{\max} = 4,291$;

$$e_{\max} = 3,433;$$

$$e_{\max} = 2,575;$$

Приймасмо: $e_{\max} = 3,5$ мм.

2.2 Знаходимо діаметр статора

$$D = \sqrt{\frac{500q}{2\eta_0 \pi k_1 e_{\max}}},$$

де q - робочий об'єм, cm^3 ,

$$q = 144.$$

η_0 - об'ємний ККД,

$$\eta_0 = 0,93.$$

k - поправочний коефіцієнт.

e_{\max} - ексцентризитет, мм.

При $q < 200$; $k_1 = 0,25$.

При $200 < q < 500$; $k_2 = 0,4$.

При $500 < q < 4000$; $k_3 = 0,55$.

План	Матеріал	План	Матеріал

Ар	Змін	№ докум.	Підп.	Дата

Арк.

12

При $k = 0,25$; $c_{\max} = 4,291 \text{ мм}$;

$$D = \sqrt{\frac{500 \cdot 144}{2 \cdot 0,93 \cdot 3,14 \cdot 0,25 \cdot 4,291}} = 108,3058.$$

При $k = 0,4$; $c_{\max} = 3,433 \text{ мм}$;

$$D = \sqrt{\frac{500 \cdot 144}{2 \cdot 0,93 \cdot 3,14 \cdot 0,4 \cdot 3,433}} = 95,729.$$

При $k = 0,55$; $c_{\max} = 2,575 \text{ мм}$;

$$D = \sqrt{\frac{500 \cdot 144}{2 \cdot 0,93 \cdot 3,14 \cdot 0,55 \cdot 2,575}} = 94,274.$$

Приймаємо: $D = 108,3058 \text{ мм}$.

2.3 Знайдемо діаметр ротора

$$d = D - 4e,$$

де D – діаметр статора, мм,

$$D = 108,3058.$$

e – ексцентризитет, мм,

$$e = 3,5.$$

$$d = 108,3058 - 14 = 94,3058.$$

$$d = 94,3058 \text{ мм.}$$

$$d = D - 4e,$$

де D – діаметр статора, мм,

$$D = 95,729.$$

e – ексцентризитет, мм,

$$e = 3,5.$$

$$d = 95,729 - 14 = 81,729,$$

$$d = 81,729 \text{ мм.}$$

$$d = D - 4e,$$

де D – діаметр статора, мм.

$$D = 94,274$$

e – ексцентризитет, мм.

$$e = 3,5$$

$$d = 94,274 - 14 = 80,274$$

$$d = 80,274 \text{ мм.}$$

Приймаємо: $d = 94,3058 \text{ мм.}$

Підп. №	Ім'я	Фамілія	Підп. №	Ім'я	Фамілія

Арк	Змін	№ докум	Підп.	Дата

Арк

13

2.4 Знайдемо товщину пластини

$$\frac{b_1}{R} = 0,01 \div 0,075,$$

Приймаємо: 0,05;

де $R = D/2$,

$$R = 108,3058/2 = 54,1529 \text{ мм.}$$

$$b_1 = 54,1529 * 0,05 = 2,7076 \text{ мм.}$$

$$b_1 = 2,7076 \text{ мм.}$$

2.5 Знайдемо товщину ротора статора:

$$B = \frac{q}{2[\pi(R^2 - r^2) - (R - r) * b * z]}'$$

$$B = \frac{144}{2[3,14(5,41^2 - 4,4^2) - (5,41 - 4,4) * 0,2707 * 12]} = 2,641,$$

де $q = 147 \text{ см}^3$,

$$R = 5,41 \text{ см.}$$

$$b = 0,2707 \text{ см.}$$

$$r = 4,4 \text{ см.}$$

$$z = 12.$$

2.6 Знайдемо більший діаметр кулачка:

$$D_{кул.} = D - 8e,$$

де D – діаметр статора, мм.

$$D = 108,3058.$$

e – ексцентризитет, мм.

$$e = 3,5.$$

$$D_{кул.} = 108,3058 - 28 = 80,3058 \text{ мм.}$$

2.7 Знайдемо модульний діаметр кулачка

$$d_{кул.} = d - 8e,$$

де d – діаметр ротора, мм.

$$d = 94,3058.$$

e – ексцентризитет, мм.

$$e = 3,5.$$

$$d_{кул.} = 94,3058 - 28 = 66,3058 \text{ мм.}$$

Ім'я	Фамилія
Відмінно	
Хорошо	
Добре	
Погано	
Погано	

Ар.	Змін.	№ докум.	Нібр.	Дата

Арк.

14

2.8 Знайдемо товщину кулачка

$$b_2 = 2e,$$

де e – ексцентризитет, мм.

$$e = 3,5.$$

$$b_2 = 2 \cdot 3,5 = 7 \text{ мм.}$$

2.9 Знайдемо більший діаметр расточки ротора під кулачок

$$D_{\text{раст.}} = D - 8e,$$

де D – діаметр статора, мм.

$$D = 108,3058.$$

e – ексцентризитет, мм.

$$e = 3,5.$$

$$D_{\text{раст.}} = 108,3058 - 28 = 80,3058 \text{ мм.}$$

2.10 Знайдемо малий діаметр расточки ротора під кулачок

$$d_{\text{раст.}} = d_{\text{кул.}} - 4e,$$

де $d_{\text{кул.}}$ – діаметр статора, мм.

$$d_{\text{кул.}} = 66,3058.$$

e – ексцентризитет, мм.

$$e = 3,5.$$

$$d_{\text{раст.}} = 66,3058 - 14 = 52,3058 \text{ мм.}$$

2.11 Знайдемо діаметр внутрішній расточки кулачка

$$d_{\text{пот.}} = d_{\text{раст.}} + 2c,$$

де $c = l$.

$$d_{\text{пот.}} = 52,3058 + 2 = 54,3058 \text{ мм.}$$

2.12 Знайдемо зовнішній діаметр статора

$$D_{\text{нап.}} = D + 4e,$$

де D – діаметр статора, мм.

$$D = 108,3058.$$

e – ексцентризитет, мм.

$$e = 3,5.$$

$$D_{\text{нап.}} = 108,3058 + 14 = 122,3058 \text{ мм.}$$

Ном. №	Ім'я і фамилія	Відмінн. №	Ім'я і фамилія

Ар	Змін.	№ докум.	Підп.	Дата

Арк.

2.13 Знайдемо зовнішній діаметр диску статора

$$D_{\text{пар.}} = D_{\text{диска}},$$

де $D_{\text{диска}}$ — зовнішній діаметр статора.

$$D_{\text{пар.}} = D_{\text{диска}} = 122,3058 \text{ мм.}$$

2.14 Знайдемо середній діаметр глухих вікон диска

$$D_{\text{ср.}} = d + 2e,$$

де d — діаметр статора, мм,

$$d = 94,3058.$$

e — ексцентризитет, мм,

$$e = 3,5.$$

$$D_{\text{ср.}} = 94,3058 + 7 = 101,3058 \text{ мм.}$$

2.15 Знайдемо ширину паза образуючих вікон

$$b_3 = 2e,$$

де e — ексцентризитет, мм,

$$e = 3,5.$$

$$b_3 = 2 * 3,5 = 7 \text{ мм.}$$

2.16 Знайдемо середній діаметр прохідного вікна диска

$$D_{\text{прох.}} = D_{\text{ср.}} + 2e,$$

де $D_{\text{ср.}}$ — діаметр статора, мм,

$$D_{\text{ср.}} = 101,3058.$$

e — ексцентризитет, мм,

$$e = 3,5.$$

$$D_{\text{прох.}} = 101,3058 + 7 = 108,3058 \text{ мм.}$$

2.17 Знайдемо кут між пластинами

$$\beta = \frac{2\pi}{z},$$

$$\beta = \frac{2 * 180}{12} = 30^\circ.$$

Ім'я	Фамилія	Підп.	Дата	Арк.
Ар.	Змін.	№ докум.		16

2.18 Знайдемо довжину дуги перемички між вікнами

$$l_{\text{дуг.}} = \frac{\pi * D_{\text{ср.}}}{z},$$

$$l_{\text{дуг.}} = \frac{3,14 * 101,3058}{12} = 26,508;$$

$$l_{\text{дуг.}} = 26,508 \text{ мм.}$$

2.19 Знайдемо довжину дуги с урахуванням площини і пластини

$$l_{\text{дуг.1}} = l_{\text{дуг.}} \pm \frac{b_1}{2},$$

$$l_{\text{дуг.1}} = 26,508 \pm \frac{2,7076}{2} = 25,1542 \div 27,8618;$$

$$l_{\text{дуг.1}} = 25,1542 \div 27,8618 \text{ мм.}$$

Ном. №	Ном. №	Вимірювальний №	План і зона

Ар.	Зам.	№ зокум.	Підп.	Дата	Арк.
					17

3. Силовий розрахунок

3.1 Знаходимо силу інерції, яка діє на пластину

$$F_{\text{ин.}} = m * j,$$

де m - маса пластини, кг.

$$m = \rho_{\text{cm.}} * b * B * l,$$

де $\rho_{\text{cm.}}$ - густина сталі, $\frac{\text{кг}}{\text{м}^3}$,

$$\rho_{\text{cm.}} = 7850.$$

b - товщина пластини, см,

$$b = 0,27076.$$

B - товщина ротора статора, с.

$$B = 2,641.$$

l - довжина пластини, мм,

$$l = 4e,$$

$$l = 4 * 3,5 = 14.$$

$$M = \rho_{\text{cm.}} * b * B * l,$$

$$m = 7,850 * 0,002708 * 0,02641 * 0,014 = 7,859 \text{ г} = 0,0079 \text{ кг.}$$

де j - прискорення пластини,

$$j = \rho * \omega^2 * \cos\varphi,$$

де φ - кут повороту ротора (в нижній та верхній «мертвих» точках).

$\varphi = 0^\circ$ та 180° - відповідно.

де ρ - радіус окружності, по якій рухається пластина, м,

$$\rho = R_{\text{cm.}} - 2e,$$

де $R_{\text{cm.}} = D/2$.

$$R_{\text{cm.}} = 108,3058/2 = 54,1529.$$

Тоді

$$\rho = R_{\text{cm.}} - 2e,$$

$$\rho = 54,1529 * 10^{-3} - 7 * 10^{-3} = 47,1529 * 10^{-3},$$

$$\omega = 2\pi n/60,$$

$$\omega = \frac{2 * 3,14 * 1500}{60} = 157,$$

де $n = 1500 \text{ об/хв.}$

Ім'я і фамілія	Відмінний

Ар.	Зміс	№ докум.	Підп.	Дата	Арк.
					18

Тоді

$$j = \rho * \omega^2 * \cos\varphi,$$

$$j = 54,1529 * 10^{-3} * 157^2 * 1 - 1334,8 \text{ м}^2/\text{с}^2.$$

Отже

$$F_{\text{int}} = m * j,$$

$$F_{\text{int}} = 0,0079 * 1334,8 = 10,545 \text{ Н.}$$

3.2 Знаходимо силу тиску діючу на торець пластини у верхній «мертвій» точці

$$P_{\text{давл.}} = b * B * P_n,$$

де b – товщина пластини, мм,

$$b = 0,2708.$$

B – товщина ротора статора, см,

$$B = 2,641.$$

P_n – тиск насоса,

$$P_n = 7.$$

$$P_{\text{давл.}} = 2,708 * 10^{-3} * 27 * 10^{-3} * 7 * 10^6 = 511,812 \text{ Н.}$$

3.3 Знаходимо силу тиску діючу на торець пластини у нижній «мертвій» точці

$$P_{\text{давл.}} = \frac{1}{3} * b * B * P_n,$$

де b – товщина пластини, мм,

$$b = 0,2708.$$

B – товщина ротора статора, см,

$$B = 2,641.$$

P_n – тиск насоса,

$$P_n = 7.$$

$$P_{\text{давл.}} = \frac{1}{3} * 2,78 * 10^{-3} * 27 * 10^{-3} * 7 * 10^6 = 170,604 \text{ Н.}$$

Арк	Вип	№ докум.	Підп.	Дата

Арк

19

и изображение стеклянных пластинок обстановки

$$F_{\text{IP}} = \mu \cdot (P_{\text{max}} + F_{\text{in}}),$$

$$E_m = 0.02 \times (511,812 + 10,545) = 10,447 \text{ H.}$$

де μ — коефіцієнт терти.

三一七

3.5 Доведення стиу трансона пласиту

$$R_{\text{max}} = (P_e - P_m) \cdot B + 2\sigma_e$$

$$R_{\text{series}} = 7 \cdot 10^{-3} \cdot 26,41 \cdot 10^{-3} \cdot 7 \cdot 10^6 = 1294,09 \text{ H}$$

3.6 Упражнение с куклой для общения на родном

$$R_{\text{true}} = d \circ R \circ P_\alpha$$

$$R_{\text{min}} = 94,305.8 \cdot 27 \cdot 7 = 17823,7962 \text{ H.}$$

3.7 Задача про підкімас передній диск

$$R_{\text{gross}} = \frac{1}{2} * (D_{\text{crust}}^{\text{isoplym}} - (d_{\text{max}} + 2c)^2) * P_{\text{cp}} + f_{\text{over}} * P_{\text{cp}},$$

где P_0 — средний тиск, Па.

$$P_{\text{err}} = \frac{P_0 + P_{\text{inj}}}{P_0}$$

$$P_{\text{ext}} = \frac{2 \cdot 10^{-6}}{2} = 3.5 \cdot 10^{-6}$$

de $J_{max} = 10000 \text{ amp/mm}^2$

$$f_{min} = \frac{5}{8} + b_{2,min} + b_3,$$

$$= 0,625 \cdot 237,124 \cdot 7 = 1037,418,$$

the floor — донжон на высоте 30 м.

$$L_{\text{trans}} = \pi \cdot D_{\text{in}} + 2 \cdot l_{\text{trans}} = l_{\text{trans}}$$

$$f_{\text{max}} = 3.14 \cdot 101.3058 - 2 \cdot 26.508 = 27.8618 = 237.174$$

Тоді

$$\frac{1}{2} * (122,3058^2 - (15,6 + 2 * 1)^2) * 3,5 * 10^6 + 1037,418 * 3,5 * 10^6 = \frac{1}{2} *$$
$$(14958,7087 - (17,6)^2) * 3,5 + 3630,963 = \frac{1}{2} * (14648,9487) * 3,5 + 3630,963 = 29266,6232.$$

3.8 Знаходимо силу прижимаючу передній диск

$$R_{\text{приж}} = 3R_{\text{пруж}} + p_h \pi \left(\frac{D_{\text{нап}}^2 - D_{\text{паст}}^2}{4} \right),$$

де $R_{\text{пруж}}$ — сила пружини.

З цього рівняння виразимо $R_{\text{пруж}}$:

$$R_{\text{пруж}} = \frac{R_{\text{приж}} - p_h \pi \left(\frac{D_{\text{нап}}^2 - D_{\text{паст}}^2}{4} \right)}{3},$$
$$R_{\text{пруж}} = \frac{33656,6167 - 7 * 3,14 \left(\frac{122,3058^2 - 80,3058^2}{4} \right)}{3} =$$
$$= \frac{33656,6167 - 46760,7312}{3} = -4368,038 \text{ Н.}$$

3.9 Знаходимо коефіцієнт піджиму

$$\chi = \frac{R_{\text{приж}}}{R_{\text{отж}}} = 1,1 \div 1,2,$$

$$R_{\text{приж.}} = R_{\text{отж.}} * 1,15.$$

$$R_{\text{приж.}} = 29266,6232 * 1,15 = 32656,6167 \text{ Н.}$$

Ім'я №	Ім'я

Ар.	Змін.	№ докум.	Підп.	Дата	Арк.
					21

3.10 *Individuelle Anwendung: Normenrechtlich*

$$N_{\text{out}} = \frac{Q_{\text{out}} + P_u}{P_0 + P_{\text{out}}}$$

$$N_{\text{min}} = \frac{0.002977 \cdot 7 \cdot 10^{10}}{0.73 \cdot 0.81} = \frac{0.020839 \cdot 10^6}{0.5913} = 35,243 \text{ kBT.}$$

$\alpha = Q_{\text{факт}} / Q_{\text{ном}}$ — фактична подача, м³/с.

$$Q_{\text{diss}} = Q_e + \Pi_{\text{diss}}$$

$$Q_{\text{loss}} = 0,003675 \cdot 0,81 = 0,002977.$$

$Q_{\text{тн}} = \text{теоретическая подача, м}^3/\text{с.}$

$$Q_1 = q \circ \pi.$$

$$Q_{\perp} = 0.000147 \cdot 25 = 0.003675.$$

$\Pi_{\text{гм}} = \text{гідромеханічний ККД.}$

3.11 Increasing character count

$$d_{\text{max}} = \alpha \sqrt{\frac{N_{\text{imp}}}{n_{\text{grid}}}},$$

$$d_{\text{min}} = 10 \sqrt{\frac{35.243}{24.2}} = 1.56(\text{cm}) = 15.6 \text{ mm}.$$

are *a*-cognitent.

$n = 10$.

N_{max} — максимальная нагрузка.

$$N_{\text{max}} = 35,243 \text{ kHz.}$$

Іде Прод — робоче число обертів.

$$n_{\text{pos}} = n_c - \frac{N_{\text{skip}}}{N_{\text{cl}}} (n_c - n_{\text{non}}),$$

$$n_{\text{min}} = 1500 - \frac{25.241}{37} (1500 - 1440) = 1442 \frac{66}{69}$$

ω_0 — синхронная частота обогревания.

Age	Sex	Primary site	Primary tumor stage	Distant metastasis	Survival status	Survival time (months)
50	Male	Esophagus	T1N0M0	No	Alive	120
52	Male	Esophagus	T1N0M0	No	Alive	120

$$n_c = 1500 \frac{\text{cm}}{\text{m}}$$

n_{max} — початкове число обергів,

$$n_{\text{min}} = n_c(1 - S)$$

$$n_{\text{min}} = 1500(1 - 0.04) = 1440$$

де $S = 4\%$ — коефіцієнт концентрації.

$$S = 0.04$$

1	2	3	4	5	6	7	8	9	10	11	12	13	14	15	16	17	18	19	20	21	22	23	24	25	26	27	28	29	30	31	32	33	34	35	36	37	38	39	40	41	42	43	44	45	46	47	48	49	50	51	52	53	54	55	56	57	58	59	60	61	62	63	64	65	66	67	68	69	70	71	72	73	74	75	76	77	78	79	80	81	82	83	84	85	86	87	88	89	90	91	92	93	94	95	96	97	98	99	100	101	102	103	104	105	106	107	108	109	110	111	112	113	114	115	116	117	118	119	120	121	122	123	124	125	126	127	128	129	130	131	132	133	134	135	136	137	138	139	140	141	142	143	144	145	146	147	148	149	150	151	152	153	154	155	156	157	158	159	160	161	162	163	164	165	166	167	168	169	170	171	172	173	174	175	176	177	178	179	180	181	182	183	184	185	186	187	188	189	190	191	192	193	194	195	196	197	198	199	200	201	202	203	204	205	206	207	208	209	210	211	212	213	214	215	216	217	218	219	220	221	222	223	224	225	226	227	228	229	230	231	232	233	234	235	236	237	238	239	240	241	242	243	244	245	246	247	248	249	250	251	252	253	254	255	256	257	258	259	260	261	262	263	264	265	266	267	268	269	270	271	272	273	274	275	276	277	278	279	280	281	282	283	284	285	286	287	288	289	290	291	292	293	294	295	296	297	298	299	300	301	302	303	304	305	306	307	308	309	310	311	312	313	314	315	316	317	318	319	320	321	322	323	324	325	326	327	328	329	330	331	332	333	334	335	336	337	338	339	340	341	342	343	344	345	346	347	348	349	350	351	352	353	354	355	356	357	358	359	360	361	362	363	364	365	366	367	368	369	370	371	372	373	374	375	376	377	378	379	380	381	382	383	384	385	386	387	388	389	390	391	392	393	394	395	396	397	398	399	400	401	402	403	404	405	406	407	408	409	410	411	412	413	414	415	416	417	418	419	420	421	422	423	424	425	426	427	428	429	430	431	432	433	434	435	436	437	438	439	440	441	442	443	444	445	446	447	448	449	450	451	452	453	454	455	456	457	458	459	460	461	462	463	464	465	466	467	468	469	470	471	472	473	474	475	476	477	478	479	480	481	482	483	484	485	486	487	488	489	490	491	492	493	494	495	496	497	498	499	500	501	502	503	504	505	506	507	508	509	510	511	512	513	514	515	516	517	518	519	520	521	522	523	524	525	526	527	528	529	530	531	532	533	534	535	536	537	538	539	540	541	542	543	544	545	546	547	548	549	550	551	552	553	554	555	556	557	558	559	560	561	562	563	564	565	566	567	568	569	570	571	572	573	574	575	576	577	578	579	580	581	582	583	584	585	586	587	588	589	590	591	592	593	594	595	596	597	598	599	600	601	602	603	604	605	606	607	608	609	610	611	612	613	614	615	616	617	618	619	620	621	622	623	624	625	626	627	628	629	630	631	632	633	634	635	636	637	638	639	640	641	642	643	644	645	646	647	648	649	650	651	652	653	654	655	656	657	658	659	660	661	662	663	664	665	666	667	668	669	670	671	672	673	674	675	676	677	678	679	680	681	682	683	684	685	686	687	688	689	690	691	692	693	694	695	696	697	698	699	700	701	702	703	704	705	706	707	708	709	710	711	712	713	714	715	716	717	718	719	720	721	722	723	724	725	726	727	728	729	730	731	732	733	734	735	736	737	738	739	740	741	742	743	744	745	746	747	748	749	750	751	752	753	754	755	756	757	758	759	760	761	762	763	764	765	766	767	768	769	770	771	772	773	774	775	776	777	778	779	770	771	772	773	774	775	776	777	778	779	780	781	782	783	784	785	786	787	788	789	790	791	792	793	794	795	796	797	798	799	800	801	802	803	804	805	806	807	808	809	810	811	812	813	814	815	816	817	818	819	820	821	822	823	824	825	826	827	828	829	830	831	832	833	834	835	836	837	838	839	840	841	842	843	844	845	846	847	848	849	850	851	852	853	854	855	856	857	858	859	860	861	862	863	864	865	866	867	868	869	870	871	872	873	874	875	876	877	878	879	880	881	882	883	884	885	886	887	888	889	880	881	882	883	884	885	886	887	888	889	890	891	892	893	894	895	896	897	898	899	900	901	902	903	904	905	906	907	908	909	910	911	912	913	914	915	916	917	918	919	920	921	922	923	924	925	926	927	928	929	930	931	932	933	934	935	936	937	938	939	940	941	942	943	944	945	946	947	948	949	950	951	952	953	954	955	956	957	958	959	960	961	962	963	964	965	966	967	968	969	970	971	972	973	974	975	976	977	978	979	980	981	982	983	984	985	986	987	988	989	990	991	992	993	994	995	996	997	998	999	1000	1001	1002	1003	1004	1005	1006	1007	1008	1009	10010	10011	10012	10013	10014	10015	10016	10017	10018	10019	10020	10021	10022	10023	10024	10025	10026	10027	10028	10029	10030	10031	10032	10033	10034	10035	10036	10037	10038	10039	10040	10041	10042	10043	10044	10045	10046	10047	10048	10049	10050	10051	10052	10053	10054	10055	10056	10057	10058	10059	10060	10061	10062	10063	10064	10065	10066	10067	10068	10069	10070	10071	10072	10073	10074	10075	10076	10077	10078	10079	10080	10081	10082	10083	10084	10085	10086	10087	10088	10089	10090	10091	10092	10093	10094	10095	10096	10097	10098	10099	100100	100101	100102	100103	100104	100105	100106	100107	100108	100109	100110	100111	100112	100113	100114	100115	100116	100117	100118	100119	100120	100121	100122	100123	100124	100125	100126	100127	100128	100129	100130	100131	100132	100133	100134	100135	100136	100137	100138	100139	100140	100141	100142	100143	100144	100145	100146	100147	100148	100149	100150	100151	100152	100153	100154	100155	100156	100157	100158	100159	100160	100161	100162	100163	100164	100165	100166	100167	100168	100169	100170	100171	100172	100173	100174	100175	100176	100177	100178	100179	100180	100181	100182	100183	100184	100185	100186	100187	100188	100189	100190	100191	100192	100193	100194	100195	100196	100197	100198	100199	100200	100201	100202	100203	100204	100205	100206	100207	100208	100209	100210	100211	100212	100213	100214	100215	100216	100217	100218	100219	100220	100221	100222	100223	100224	100225	100226	100227	100228	100229	100230	100231	100232	100233	100234	100235	100236	100237	100238	100239	100240	100241	100242	100243	100244	100245	100246	100247	100248	100249	100250	100251	100252	100253	100254	100255	100256	100257	100258	100259	100260	10

4. Розрахунок на міцність

4.1 Розрахунок на міцність пластини

Пластини виготовлена зі сталі 65Г, для якої допустиме нормальне напруження згину: $[\sigma_{изг}]$

$$[\sigma_{изг}] = 1700 \div 3300 \frac{\text{кгс}}{\text{см}^2} = (1700 \div 3300) * 10^5 \text{Па};$$

Розраховуємо нормальне напруження пластини при згині, порівнюючи його із допустимим.

Скористаємося формулою:

$$\sigma_{изг} = \frac{M_{изг}}{W},$$

де $M_{изг}$ - сумарний момент згину від моменту сили тиску M_d і моменту сили тертя M_{tp} :

$$M_{изг} = \sqrt{M_d^2 + M_{tp}^2},$$

де W - осьовий момент опору,

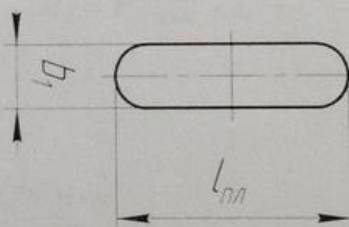


Рисунок 4.1 – Ескіз пластини

$$W = \frac{b_1 * (l_{pl}/2)^2}{6},$$

де $b_1 = 2,7076 \text{ мм.}$

$l_{pl} = 14 \text{ мм.}$

Місцо розташування	План	Зад
План № докум.	Відм. від осі	№ докум.
План № докум.	Відм. від осі	Нід.
План № докум.	Відм. від осі	Дата

Арк.
24

$$W = \frac{2,7076 \cdot (14/2)^2}{6} = 22,112 \text{ mm}^3 = 22,112 \cdot 10^{-9} \text{ m}^3.$$

На пластину діють сили тиску і тертя, як показано на рис.(4,2)

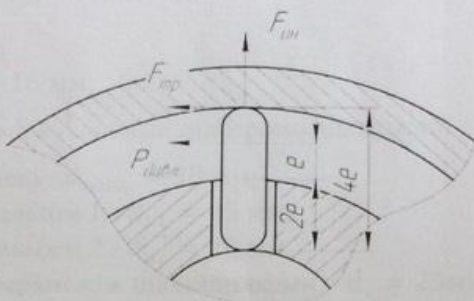


Рисунок 4.2 – Сили, що діють на пластину

Зайдемо: момент тертя і момент тиску

$$M_{tp} = F_{tp} \cdot 2e,$$

$$\partial e \quad F_{tp} = 10,447.$$

$$e = 3,5;$$

$$M_{tp} = 10,447 \cdot 2 \cdot 3,5 \cdot 10^{-3} = 0,073129 \text{ H} \cdot \text{м}.$$

$$M_d = P \frac{\text{давл.}}{\text{вмт.}} \cdot e,$$

$$\partial e \quad P \frac{\text{давл.}}{\text{вмт.}} = 511,812 \text{ Н.}$$

$$e = 3,5.$$

$$M_d = 511,812 \cdot 3,5 \cdot 10^{-3} = 1,79 \text{ H} \cdot \text{м}$$

Знаходимо сумарний згинаючий момент:

$$M_{\text{нзг}} = \sqrt{0,073129^2 + 1,79^2} = 1,79 \text{ H} \cdot \text{м};$$

Знаходимо нормальнє напруження згину:

$$\sigma_{\text{нзг}} = \frac{1,79}{22,112 \cdot 10^{-9}} = 809 \cdot 10^5 \frac{\text{Н}}{\text{м}^2}.$$

Отримане значення напруження є меншим за значення допустимих значень з діапазону.

Ліп.	Змн.	№ докум.	Підп.	Дата

Арк.

4.3 Розрахунок на міцність валу

Планарний розрахунок валу.

Радіус було використано як найменший діаметр останньої ділянки валу з полюсом із розрахунком на чисте кручення (без урахування хомута)

$$d_{\text{пол}} = 15,6 \text{ мм.}$$

$$\text{Приблизно } d_{\text{пол}} = 16 \text{ мм.}$$

За конструктивними нормативами підберемо для кожної ділянки валу діаметр:

- діаметр під шківство - $d_{\text{шків}} = 30 \text{ мм.}$
- діаметр під підшипник 1 - $d_{\text{п1}} = 25 \text{ мм.}$
- діаметр під підшипник 2 - $d_{\text{п2}} = 20 \text{ мм.}$
- діаметр вільної конічної між підшипниками - $d_s = 25 \text{ мм.}$
- хомутик валу під фланцеву муфту (3) з діаметром : $d_{\text{хомут}} = 30 \text{ мм.}$

Виконанням скільки валу

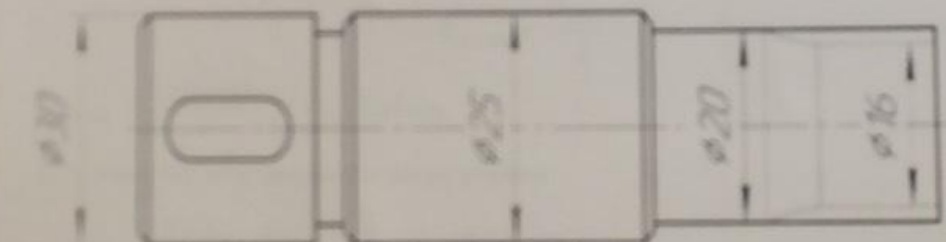


Рисунок 4.3 Існал валу

Підбір підшипників та розрахунок валу на здатність.

Схема розрахунку стиску валу, виконаний при цьому застосовуваних даних подана нижче:

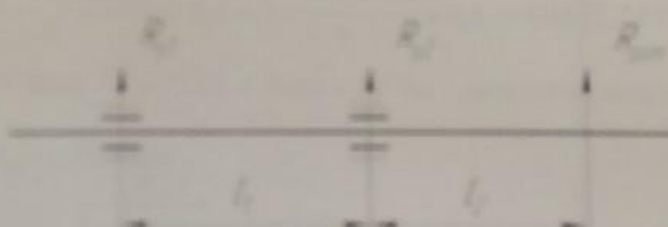


Рисунок 4.4 – Розрахункова схема валу

Довжина l_1 , відстань від бічного діаметру патрубка $D_{\text{пат}}$ і товщину кришки $B_{\text{кр}}$.

$$D_{\text{натр}} = \sqrt{\frac{4 * q * n}{\pi * v}},$$

де v — мінімальна швидкість,

$$v = 1,5 \frac{m}{s}$$

$$D_{\text{natp}} = \sqrt{\frac{4 * 144 * 10^{-6} * 1500}{3,14 * 1,5 * 60}} = \sqrt{\frac{0,882}{282,6}} = 0,05586 \text{ m} = 55,7 \text{ mm};$$

$$B_{kp} = R_{диска} * \sqrt{\frac{0,75 * p_i}{[\sigma_p]}}$$

де $R_{\text{диска}}$ – радіус диска переднього,

$$R_{\text{диска}} = \frac{D_{\text{диска}}}{2},$$

$$R_{\text{диска}} = \frac{122,3058}{2} = 61,1529 \text{ мм.}$$

P_i – сила від внутрішнього тиску рідини.

$$P_i = \frac{\pi * D_{\text{nap}}^2}{4} * p_i,$$

$\partial e / \partial p_i$ — внутрішній тиск рідини,

$$p_i = 1,2 * p_u = 1,2 * 7 = 8,4 \text{ MPa};$$

$$P_i = \frac{3,14 * 122,3058^2}{4} * 8,4 = \frac{46970,3453}{4} * 8,4 = 98637,7249 \text{ H;}$$

$$[\sigma_p] = (150 \div 300) \frac{\text{кг}}{\text{см}^2} = (150 \div 300) * 10^5 \text{Па} - \text{допустиме напруження розтягу.}$$

Приимемо $[\sigma_p] = 25$ МПа.

$$B_{kp} = 61,1529 * \sqrt{\frac{0,75 * 8,4}{25}} = 30,6985 \text{ mm};$$

Loui

$$l_1 = D_{\text{gapto}} + B_{\text{gap}}$$

Ном. №	Арт.	Зап.	№ докум.	Нім.	Дата	Арк.
						27

$$l_1 = 55,7 + 30,6985 = 86,3985 \text{ мм.}$$

Довжина l_2 приблизно дорівнює

$$l_2 = 2 * B,$$

$$l_2 = 2 * 27 = 54 \text{ мм.}$$

Визначимо сили реакції в підшипниках.

Для підшипника 1 умова рівноваги $\Sigma M1=0$:

$$R_{y2} * l_1 + R_{pot} * (l_1 + l_2) = 0,$$

$$R_{y2} = \frac{-R_{pot} * (l_1 + l_2)}{l_1},$$

$$R_{y2} = \frac{-17823,7962 * (86,3985 + 54)}{86,3985} = \frac{-2502434,25}{86,4} = -28963,3594 \text{ Н.}$$

Для підшипника 2 умова рівноваги $\Sigma M2=0$:

$$-R_{y1} * l_1 + R_{pot} * l_2 = 0,$$

$$R_{y1} = \frac{R_{pot} * l_2}{l_1},$$

$$R_{y1} = \frac{17823,7962 * 54}{86,4} = \frac{962484,995}{86,4} = 11139,8726 \text{ Н.}$$

Визначасмо сумарні радіальні сили реакції, що діють на підшипники:

$$P_{r1} = \sqrt{R_{x1}^2 + R_{y1}^2} = \sqrt{(0)^2 + 11139,8726^2} = 11139,8726 \text{ Н;}$$

$$P_{r2} = \sqrt{R_{x2}^2 + R_{y2}^2} = \sqrt{(0)^2 + 28963,3594^2} = 28963,3594 \text{ Н.}$$

Будуємо спори згинального моменту:

$$M_{z1} = R_{y1} * l_1 = 11139,8726 * 86,4 * 10^{-3} = 962,485 \text{ Н} * \text{м};$$

$$M_{z2} = R_{pot} * l_2 = 17823,7962 * 54 * 10^{-3} = 962,485 \text{ Н} * \text{м.}$$

Приймасмо кулькові радіальні однорядні підшипники середньої серії 304, ст.394, для якого: $d = 20 \text{ мм}$, $D = 52 \text{ мм}$, $B = 15 \text{ мм}$, $r = 2 \text{ мм}$, $C = 15,9 \text{ кН}$, $C_0 = 7,8 \text{ кН}$.

Ім'я	Фамілія
Іван	Сидорук
Іван	Сидорук
Іван	Сидорук

Ар.	Змін.	№ докум.	Підп.	Дата

Арк.

Визначасмо еквівалентне динамічне навантаження P_e на підшипник за формулою (9.3), с. 212 за С. А. Чернавський.

$$P_e = (X \cdot V \cdot P_{r2} + Y \cdot F_a) K_o \cdot K_1 ,$$

де $V = 1$ – коефіцієнт обертання внутрішнього кільця підшипника за Чернавським.

$K_o = 1,2$ – коефіцієнт безпеки, приймаємо за табл. 9.19, с. 214 за Чернавським.

$K_1 = 1$ – температурний коефіцієнт, приймаємо за табл. 9.20, с. 214;

$F_a = 0$ – осьова сила на вал, за Чернавським.

$Y = 0, X = 1$; за Чернавським.

$$P_e = (X \cdot V \cdot P_{r2} + 0) K_o \cdot K_1 = X \cdot V \cdot P_{r2} \cdot K_o \cdot K_1 ,$$

$$P_e = 1 \cdot 1 \cdot 28963 \cdot 1,2 \cdot 1 = 34755,6 \text{ Н.}$$

Визначасмо номінальну довговічність (ресурс) підшипника в годинах за формулою (9.1) - (9.2), с. 211 за С. А. Чернавський.

$$L_h = \frac{10^6 L}{60 \cdot n} = \frac{10^6}{60 \cdot n} \left(\frac{C}{P_e} \right)^p ,$$

де $n = 1500$ об/хв – частота обертання валу;

$C = 15900$ Н – динамічна вантажопідйомність підшипника 304 за стандартом;

* $p = 3$ – показник степеню для кулькових підшипників.

$$L_h = \frac{10^6}{60 \cdot n} \left(\frac{C}{P_e} \right)^p = \frac{10^6}{60 \cdot 1500} \left(\frac{15900}{34755,6} \right)^3 = 1,06 \text{ год.}$$

Приймасмо кулькові радіальні однорядні підшипники середньої серії 305, ст.394, $d = 25$ мм, $D = 62$ мм, $B = 17$ мм, $r = 2$ мм, $C = 22,5$ кН, $C_0 = 11,4$ кН

Визначасмо еквівалентне динамічне навантаження P_e на підшипник за формулою (9.3), с. 212 за С. А. Чернавський.

$$P_e = (X \cdot V \cdot P_{r2} + Y \cdot F_a) K_o \cdot K_1 ,$$

де $V = 1$ – коефіцієнт обертання внутрішнього кільця підшипника;

$K_o = 1,2$ – коефіцієнт безпеки, приймаємо за табл. 9.19, с. 214;

$K_1 = 1$ – температурний коефіцієнт, приймаємо за табл. 9.20, с. 214;

Під. №	Ім'я

Арк.	Зміс	№ докум.	Підп.	Дата	Арк.
					29

$F_a = 0$ – осьова сила на вал;

$Y=0, X=1$

$$P_e = (X \cdot V \cdot P_{el} + 0) K_o \cdot K_f = X \cdot V \cdot P_{el} \cdot K_o \cdot K_f,$$

$$P_e = 1 \cdot 1 \cdot 11139,8726 \cdot 1,2 \cdot 1 = 13367,8512 \text{ Н.}$$

Визначасмо нормальну довговічність (ресурс) підшипника в годинах за формулою (9.1) - (9.2), с. 211 за С. А. Чернавський.

$$L_h = \frac{10^6 L}{60 \cdot n} = \frac{10^6}{60 \cdot n} \left(\frac{C}{P_e} \right)^p,$$

де $n = 1500$ об/хв – частота обертання вала;

$C = 22500$ Н – динамічна вантажонійомність підшипника 305 за стандартом;

$p = 3$ – показник степеня для кулькових підшипників.

$$L_h = \frac{10^6}{60 \cdot n} \left(\frac{C}{P_e} \right)^p = \frac{10^6}{60 \cdot 1500} \left(\frac{22500}{13367,8512} \right)^3 = 52,97 \text{ год.}$$

4.4 Розрахунок на міцність шпильки.

Розраховуємо нормальні напруження пластини при розтяганні, порівнюючи його із допустимим.

Скористаємось формулою:

$$[\sigma_p] > \sigma_p = \frac{P_k}{z_{\text{шп}} \cdot f_{\text{шп}}} - 0,$$

де $z_{\text{шп}}$ – кількість шпильок;

$f_{\text{шп}}$ – площа поперечного перерізу шпильки;

P_k – зусилля затяжки.

$$P_k = P_d + P_i,$$

де P_i – сила от внутрішнього тиску.

$$P_i = \frac{\pi D_{\text{шп}}^2}{4} \cdot p_i,$$

$p_i = 1,2 p_n$ – внутрішній тиск,

$$p_i = 1,2 \cdot 7 = 8,4 \text{ МПа.}$$

Ном. №	Ном. №	Відмінні №	Ім'я	Ім'я

Ар.	Змін.	№ докум.	Підп.	Дата

Арк.

30

$$P_i = \frac{3,14 * 122,3058^2}{4} * 8,4 = \frac{46970,3453}{4} * 8,4 = 98637,7249 \text{ Н};$$

P_d – ущільнююча сила;

$$P_d = \frac{\pi(D_{\text{прок}}^2 - D_i^2) p_n}{4},$$

$D_{\text{прок}}$ – діаметр прокладки;

$$D_i = D_{\text{нар}},$$

Приймаємо по ГОСТ 9833-73 кільцеве гумове ущільнення з внутрішнім діаметром $D_{\text{прок}} = 126,5$ мм і діаметром поперечного перерізу $d = 3,6$ мм.

$$P_d = \frac{3,14 * (108,3058^2 - 122,3058^2) * 7}{4} = 7740,94 \text{ Н}.$$

Тоді

$$P_k = 7740,94 + 98637,7249 = 106378,665 \text{ Н}.$$

Напишемо вираз для знаходження діаметра шпильки:

$$d_{\text{шп}} = 2 \sqrt{\frac{P_k}{\pi * z * \sigma_p}},$$

$$d_{\text{шп}} = 2 * \sqrt{\frac{106379}{3,14 * 4 * 55,5}} = 0,02584 \text{ м}.$$

Приймаємо $d_{\text{шп}} = 26$ мм.

Допустиме нормальнє напруження при розтягуванні шпильки знайдемо з наступного виразу:

$$[\sigma_p] = \frac{\sigma_t}{[n]},$$

де σ_t – межа текучості,

$$\sigma_t = 250 \text{ МПа для сталі 45}.$$

$$[n] = 4 \div 5,$$

Приймемо $[n] = 4,5$.

Тоді

$$[\sigma_p] = \frac{250}{4,5} = 55,5 \text{ МПа}.$$

Ім'я, фамилія	Ім'я, фамилія

Арк.	Знак	№ докум.	Підп.	Дата

Арк.

31

5. Розрахунок шпонкового та шліцевого з'єднання.

Вибираємо для шпонкового з'єднання вала із півмуфтою пружної муфти МПВП призматичну шпонку із закругленими торцями.

Матеріал штанки – сталь 45 нормалізована.

Розрахункове допустиме напруження змінання $[\sigma_{zm}] = 100 \text{ MPa}$ для такого шпонкового з'єднання вибираємо за рекомендаціями .

Для хвостовика вала з діаметром $d = 30$ мм вибираємо за ГОСТ 23360-78 розміри шпонки $b \times h$ (ширину $b = 10$ мм, висоту $h = 8$ мм) і глибину паза на валу $t_1 = 5$ мм.

Розрахунковий момент обертання на валу $T = 227 \text{ Н}\cdot\text{м}$.

Визначасмо робочу довжину шпонки l_p із умови міцності шпонкового з'єднання на змінання

$$l_p = \frac{2 \cdot T}{d \cdot [\sigma_{3M}] \cdot (h - t_1)} = \frac{2 \cdot 227 \cdot 10^3}{30 \cdot 100 \cdot (8 - 5)} = 50,4 \text{ MM.}$$

Довжина пітонки

$$l = l_p + b = 50,4 + 10 = 60,4 \text{ mm.}$$

Згідно ГОСТ 23360–78 обираємо довжину $l = 58$ мм.

Таким чином, для шпонкового з'єднання вала із півмуфтою пружної муфти МПВП вибираємо призматичну шпонку $b \times h \times l = 14 \times 9 \times 50$ ГОСТ 23360-78.

Для з'єднання ротора з валом використаємо шліцьове з'єднання середньої серії. Умовний допустимий тиск $[\sigma_y] = 95$ МПа для такого шпонкового з'єднання вибираємо за рекомендаціями. Для хвостовика валу вибираємо за ГОСТ 1139-80 розміри шліцьової ділянки валу $z \times d \times D$ (кількість зубців $z = 6$, внутрішній діаметр $d = 16$ мм і зовнішній діаметр $D = 20$ мм.)

Розрахунковий момент обертання на валу $T = 227 \text{ Н} \cdot \text{м}$.

Визначасмо робочу довжину шліца l із умовою зносостійкості шліцьового з'єднання на змінання:

$$l = \frac{10^3 * T}{S_A * [\sigma_{\text{VM}}]},$$

де S_A – статичний момент одиниці довжини робочої поверхні шліців відносно осі вала,

Вим №(н)							
Арт.	Змін.	№ докум.	Підп.	Дата			Арк.

$$S_A = 76 \text{ мм}^3/\text{мм}$$

$$l = \frac{10^3 * 227}{76 * 95} = 31,4 \text{ мм.}$$

Таким чином, для шліцьового з'єднання вала із ротором вибираємо наступні розміри $z \times d \times D = 6 \times 16 \times 20$ ГОСТ 1139-80.

Ном. №	Ном. №	Ном. №	Відм. №	Ном. №

Ар.	Змін.	№ докум.	Підп.	Лага

Арк.

33

33

ТЕХНОЛОГІЧНА ЧАСТИНА

В технологічній частині розроблено технологічний процес виготовлення
вала

Ізм.	Лист	№ докум.	Підпись	Дата	Лист

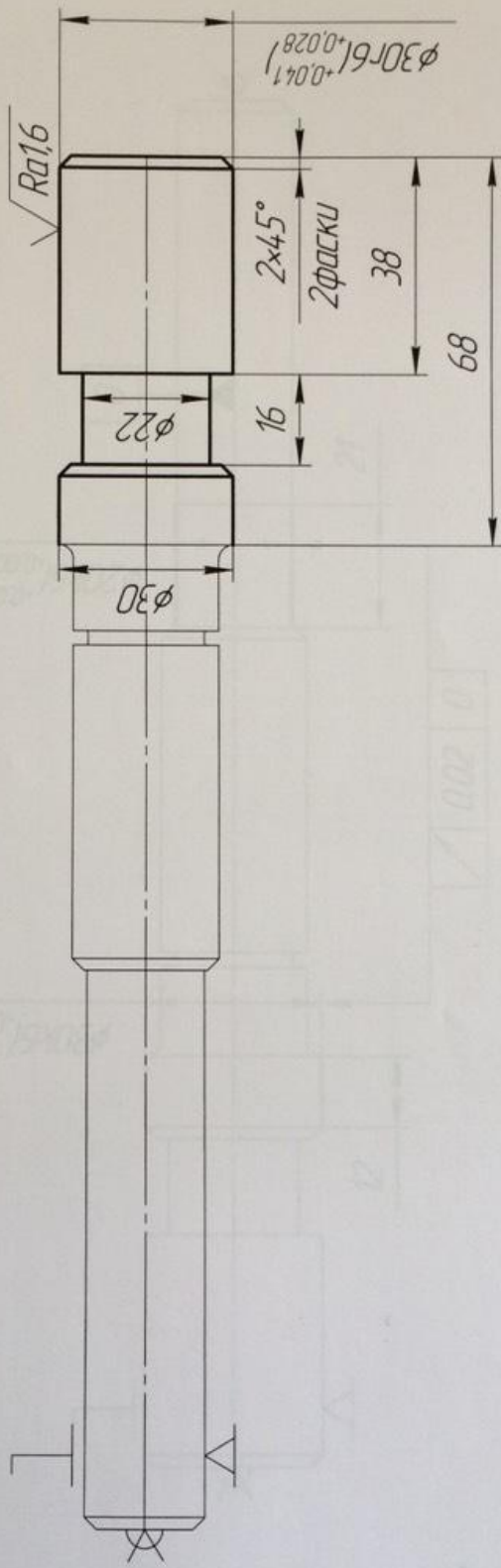
Материал			ТУТ 31105-84			Форма 7		
Номер	Барык	Лист						
Размер								
Профиль								
Н. комп								

1 1 1

КП 045

Вал

$\nabla Ra 6,3$



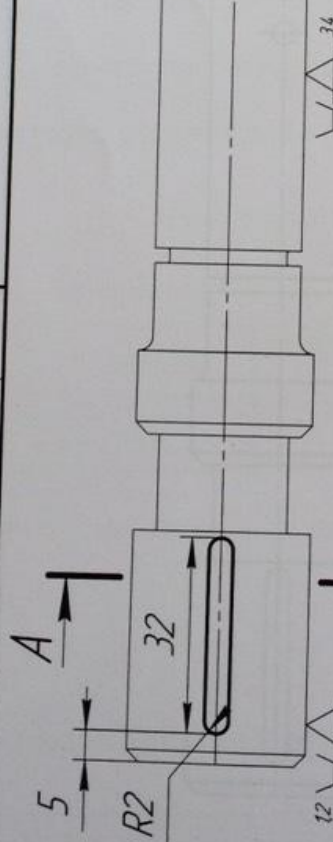
* Размеры для справок

Материал	Сталь	Форма №7
Весон		
Линии		
Размеры		
Порядок		
Номер		

Балл

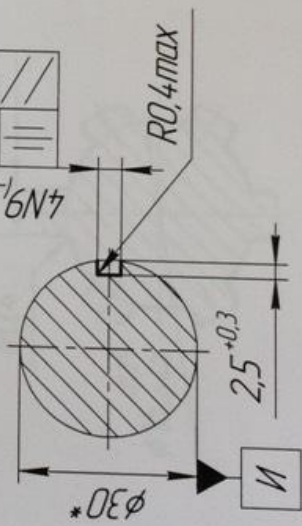
КП 090

$\nabla Ra 3,2 (\nabla)$



4N9	1-0,031	T 0,08	II	0,016	II

A-A



* Размеры для справок

ГОСТ 3.1118-82												Форма 1б		
Номер	Наименование операции	Код наименования операции	Обозначение документа									Номер	Номер	Номер
			ОМ	Писец	Р	УТ	КР	КУШ	ДП	ЕИ	ЛП			
Б	Наименование ленты для выполнения операции	Обозначение код												
A01	XX XX XX 100	4221 Горизонтально-расточочная												
Б02	XXXXXX XXXX	2A619	2	18235	411	Р	1	1	100	-	184	642		
03														
A04	XX XX XX 105	0200 Контрольная ОТК												
Б05	XXXXXX XXXX	Стол ОТК	4	XXXXXX	312	Р	1	1	100	-	XX	XX		
06														
A07	XX XX XX 110	4114 Токарно-винторезная												
Б08	381148 XXXX	16К30	2	18217	311	Р	1	1	100	-	164	660		
09														
A10	XX XX XX 115	0108 Глескария												
Б11	XXXXXX XXXX	Верстак глескарий	4	XXXXXX	412	Р	1	1	100	-	XX	XX		
12														
A13	XX XX XX 120	0200 Контрольная ОТК												
Б14	XXXXXX XXXX	Стол ОТК	4	XXXXXX	312	Р	1	1	100	-	XX	XX		
15														
A16	XX XX XX 125	0180 Маркировочная												
Б17	XXXXXX XXXX	Стол маркировщика	4	XXXXXX	312	Р	1	1	100	-	XX	XX		

№К	Код наименование операции				Маркировка				Пояснение (текущего)								4
	А	Б/яр	Ч/я	РМ	Опер.				М/	Бирк	Р	Уг	КР	КОМП	ЕИ	ИП	Кум
6	Наименование деталии от единицы измерения				Обозначение код.				Маркировка				Пояснение (текущего)				Гип
К/ч																	Гип
01	XXXXXX	XXXX	XXXX	XXXX	Лицем сплошной, 392150 XXXX Резец РСЛНР 2520 115К6, 392150 XXXX Резец специальный канавочный,												Гип
02	391890	XXXX	XXXX	XXXX	Резец 2660-0003 115К6 ГОСТ 18885-73*												Гип
03	393311	XXXX	XXXX	XXXX	Шлангенщрекуль ШЦ-III-630-0,1 ГОСТ 166-89*												Гип
04	393120	XXXX	XXXX	XXXX	Скоба специальная ф90,2h8, 393120 XXXX Скоба специальная ф100,2h8, 393140 XXXX Кольцо 8211-0223 б/з ГОСТ 17763-72*												Гип
05	XXXXXX	XXXX	XXXX	XXXX	Чуломер с нанесением ГОСТ 5378-83*, 393120 XXXX Калибр специальный для контроля канавок для выхода режущего инструмента												Гип
06	XXXXXX	XXXX	XXXX	XXXX	Контрольно-измерительное приспособление для контроля радиального биения, XXXXXX XXXX Образцы шероховатости ГОСТ 9378-93*												Гип
07																	
A08	XX	XX	XX	060	0200 Контрольная ОТК												
Б09	XXXXXX	XXXX	XXXX	XXXX	Стол ОТК												
В10																	
A11	XX	XX	XX	065	4233 Токарная с ЧПУ												
Б12	381148	XXXX	XXXX	XXXX	16К20Т1												
013	Точить	поверхность	ф30,2	выдержанная	размеры согласно чертежа по программе												
14	Точить	торец	112	выдержанная	размеры согласно чертежа по программе												
15	Точить	фаску	18x45°	выдержанная	размеры согласно чертежа по программе												
16	Точить	поверхность	ф70,2	выдержанная	размеры согласно чертежа по программе												
17	Точить	торец	100	выдержанная	размеры согласно чертежа по программе												
18	Точить	фаску	3x15°	выдержанная	размеры согласно чертежа по программе												
19	Точить	поверхность	ф75	выдержанная	размеры согласно чертежа по программе												

Лист	
Всего	
Подл	

Номер	Наименование детали, с/н вида или материала	Код наименование операции	Обозначение доскачного																	
			A	База	Уг.	РМ	Опел	СЧ	Проф	Р	Уг.	КР	Комп	ЕИ	ДП	КМ	Изз	Исп	Изм	Исп
01	Точить торец ф75/ф80,2, выдержанная размеры согласно чертежа по программе																			
02	Точить торец 1335, выдержаная размеры согласно чертежа по программе																			
03	Точить торец 1335, выдержаная размеры согласно чертежа по программе																			
04	Точить фаску 3x15°, выдержанная размеры согласно чертежа по программе																			
05	Точить канавку б3, выдержанная размеры согласно чертежа по программе																			
06	Точить канавку б5, выдержанная размеры согласно чертежа по программе																			
07	Точить канавку б3, выдержанная размеры согласно чертежа по программе																			
08	Нарезать резьбу М80х2-6д, выдержанная размеры согласно чертежа по программе																			
109	396110 XXXX Патрон 7108-0052 ГОСТ 2572-72*																			
10	396100 XXXX Центр 7032-0018 ГОСТ 13214-85*																			
11	XXXXXX XXXX Резец специальный: 392150 XXXX Резец РСЛНР 2520 ТБК6, 392150 XXXX Резец специальный канавочный;																			
12	391890 XXXX Резец 2660-0003 ТБК6 ГОСТ 18885-73*																			
13	393311 XXXX Штангенциркуль ШЦ-1-125-0 ГОСТ 166-89*																			
13	393311 XXXX Штангенциркуль ШЦ-III-400-0,1 ГОСТ 166-89*, 393120 XXXX Скоба специальная ф30,2h8;																			
14	393120 XXXX Скоба специальная ф70,2h8; 393120 XXXX Скоба специальная ф80,2h8; 393140 XXXX Кольцо 8211-0230 б4 ГОСТ 17763-72*																			
15	XXXXXX XXXX Чулмер с нониусом ГОСТ 5378-83*, 393120 XXXX Калибр специальный для контроля канавок для выкода режущего инструмента																			
16	XXXXXX XXXX Образцы шероховатости ГОСТ 9378-93*																			
17																				

Digitized by

start 31/05-84

△ Ra 3,2

237-1

2 отв. центр. Б8
ГОСТ 14034-74*

10

P

*ZEF

5

37

A

A technical drawing of a mechanical part, likely a bearing housing. It features a central vertical slot with a width of 10 mm. To the left of this slot is a semi-circular cutout. The outer diameter of the part is specified as $\phi 224^*$. On the right side, there are two concentric circular features with diameters of $\phi 177^*$ and $\phi 8$ respectively. The bottom edge of the part is labeled with the material specification $9.35H12$.

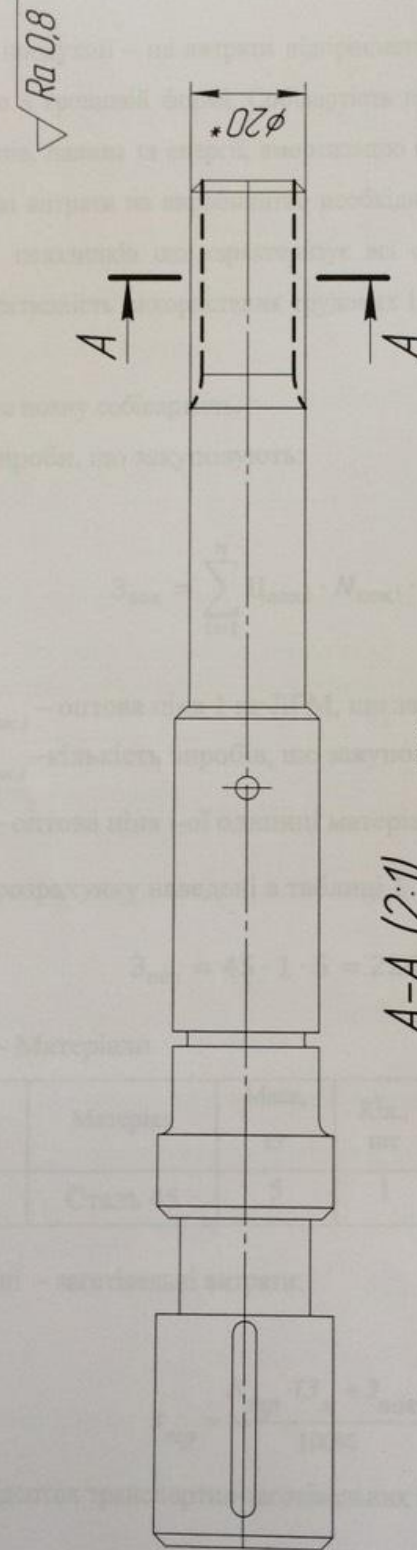
* Размеры для справок

8

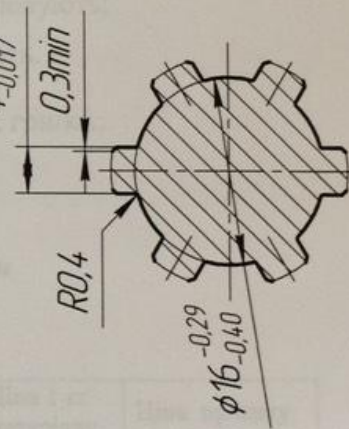
4

RACT 3105-84

7

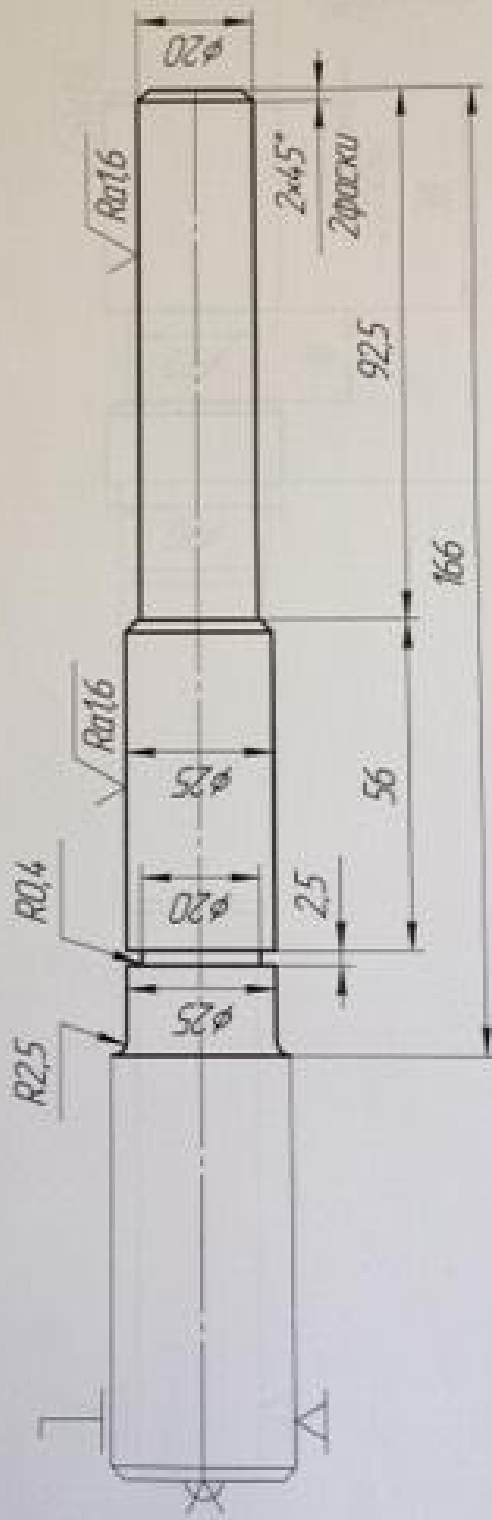


A-A (2:1) 0000



* Размеры для справок

Rt 63

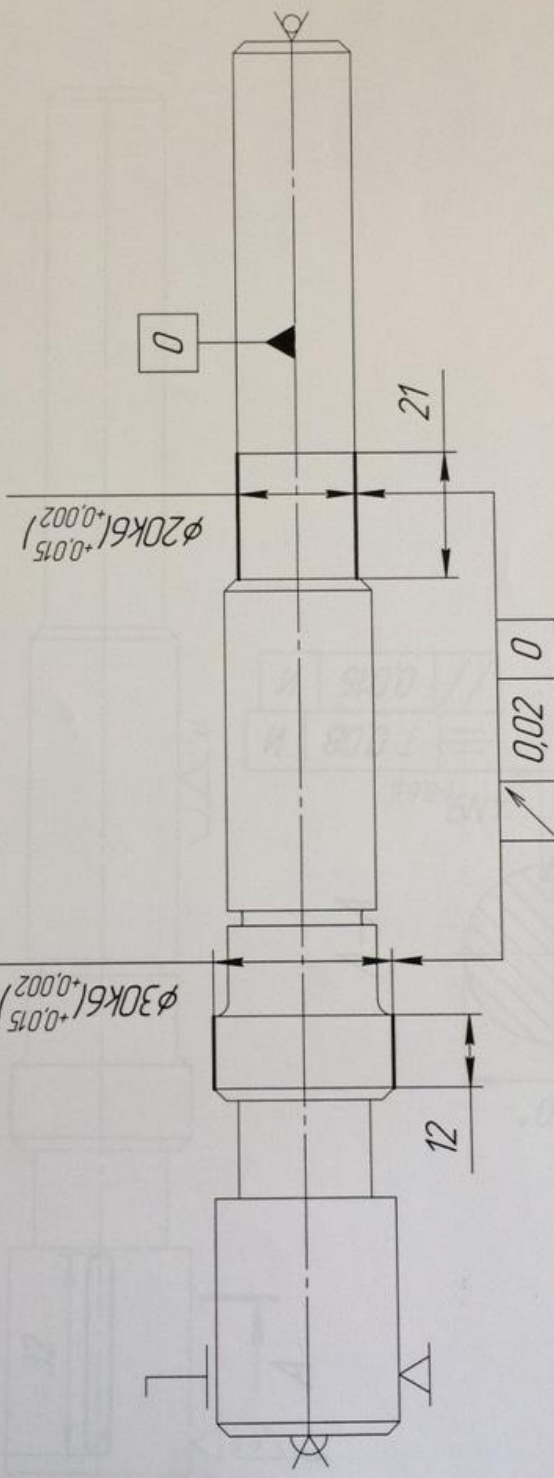


• РИЗЕРВЫ ДЛЯ СПАДОК

Литн						
Базы:						
Литн						
Рисунок						
Просек						
Н. концом						

 $\nabla Ra 0,8$

Вал



Розрахунок собівартості

Собівартість продукції – це витрати підприємства на виготовлення та реалізацію товару вираженого в грошовій формі. Собівартість продукції включає в себе вартість сировини, матеріалів, палива та енергії, амортизацію основних фондів, заробітну плату працівників та інші витрати на виробництво необхідної продукції. Собівартість один з важливих якісних показників що характеризує всі сторони діяльності підприємства. Вона відбиває ефективність використання трудових і матеріальних ресурсів на випуск продукції.

Розраховуємо повну собівартість.

1. Витрати на вироби, що закуповують:

$$Z_{\text{пок}} = \sum_{i=1}^n \Pi_{\text{пок},i} \cdot N_{\text{пок},i} \cdot \Pi_i, \quad (1)$$

де $\Pi_{\text{пок},i}$ – оптова ціна 1 кг ЛГМ, що закуповують;

$N_{\text{пок},i}$ – кількість виробів, що закуповують.

Π_i – оптова ціна i-ої одиниці матеріалу, грн/кг.;

Дані для розрахунку наведені в таблиці 1

$$Z_{\text{пок}} = 45 \cdot 1 \cdot 5 = 225 \text{ грн}$$

Таблиця 1 - Матеріали

Деталь	Матеріал	Маса, кг	Кіл., шт	Ціна 1 кг матеріалу, грн.	Ціна прокату грн.
Вал	Сталь 45	5	1	45	225

2 Транспортні – заготівельні витрати:

$$Z_{\text{mp}} = \frac{K_{\text{mp}} \cdot (Z_m + Z_{\text{пок}})}{100\%}, \quad (2)$$

де K_{mp} – відсоток транспортно-заготівельних витрат, %.

Вим.	Арк.	№ докум.	Підпис	Дата	Арк.
					Ч8

Приймемо $K_{\text{оп}} = 4\%$. Тоді:

$$Z_{\text{оп}} = \frac{4\% \cdot 225}{100\%} = 101,25 \text{ грн} \quad (3)$$

3 Споживання електроенергії:

$$Z_e = \sum (T_{\text{норм}} \cdot N_{\text{вир}}) \cdot \Pi_{\text{ел}} \text{ грн} \quad (4)$$

де $T_{\text{норм}}$ – норма штучно калькуляційного часу, хв;

$N_{\text{вир}}$ – потужність верстатів;

$\Pi_{\text{ел}}$ – ціна одного кіловатта електроенергії $\Pi_{\text{ел}} = 1,90$ грн/кВт.

$$C_e = \left(\frac{(40 \cdot 0,001) + (135 \cdot 4,5) + (180 \cdot 5,4)}{60} \right) \cdot 1,90 = 50,02 \text{ грн}$$

4 Розрахунок заробітної плати працівників виробництва:

Таблиця 2 – Час роботи та розріз працівника

№ операції	Найменування операції	Норма часу		Розріз роботи	С. грн/год
		$T_{\text{норм}}$, хв	$T_{\text{від}}$, хв		
015	Слюсарна	20	20	1	32,40
020	Токарно-гвинторізна	30	105	3	39,6
025	Вертикально-фрезерна	20	100	3	46,13

5 Норма штучно калькуляційного часу на операції визначається за формулою:

$$T_{\text{норм}} = T_{\text{від}} + \frac{T_{\text{зз}}}{n_d}, \text{ хв.} \quad (5)$$

де n_d – кількість деталей

$T_{\text{від}}$ – норма часу на обробку деталі

$T_{\text{зз}}$ – норма часу на підготовчі та заключні роботи

$$T_{\text{норм}_{015}} = 20 + \frac{20}{1} = 40, \text{ хв.}$$

$$T_{\text{норм}_{020}} = 30 + \frac{105}{1} = 135, \text{ хв.}$$

$$T_{\text{норм}_{025}} = 20 + \frac{100}{1} = 120, \text{ хв.}$$

6 Заробітна плата визначається по формулі:

$$C_j = \sum (C_e \cdot T_{\text{норм}}) \cdot K_{\text{оп}} \cdot K_{\text{сп}} \quad (6)$$

						Агр.
Вим.	Агр.	М. флаг.	Філіял	Департ.		49

де C_2 – погодинна тарифна ставка першого розряду робочих відрядників з нормальними умовами праці.

K_{cp} – тарифний коефіцієнт, що відповідає середньому розряду робіт.

Приймаємо $K_{cp} = 1,33$

$T_{штк}$ – трудомісткість нового виробу, н.год.

K_{np} – коефіцієнт, що враховує розмір премії. Приймається $K_{np} = 1,4$.

Тоді заробітна платня:

$$C_3 = \left(\frac{(40 \cdot 32,4) + (135 \cdot 39,6) + (120 \cdot 46,13)}{60} \right) \cdot 1,33 \cdot 1,4 = 256,4 \text{ грн}$$

7 Додаткова заробітна платня виробничих працівників, визначається у відсотках від основної заробітної платні. Відсоток додаткової заробітної платні складає 15% від основної заробітної платні виробничих працівників, тобто:

$$C_{\text{дод}} = \frac{15\% \cdot C_3}{100\%}, \quad (7)$$

$$C_{\text{дод}} = \frac{15\% \cdot 256,4}{100\%} = 38,46 \text{ грн}$$

8 Нарахування на заробітну платню нараховується у відсотках від суми основної та додаткової заробітної платні виробничих працівників та враховує відрахування на соціальне страхування в розмірі 22%:

$$C_H = (C_3 + C_{\text{дод}}) \cdot 0,22, \quad (8)$$

$$C_H = (256,4 + 38,46) \cdot 0,22 = 64,87 \text{ грн}$$

9 Витрати на відшкодування зношення спеціальних пристосувань та інструментів визначається в розмірі 15% від основної заробітної платні:

Вим.	Арк.	№ докум.	Підпис	Дата	Арк.
					50

$$C_{incm} = 0,15 \cdot C_3 , \quad (9)$$

$$C_{incm} = 0,15 \cdot 256,4 = 38,46 \text{ грн}$$

10 Визначення накладних витрат:

а) витрати по утриманню та експлуатації обладнання:

$$C_{ey} = \frac{C_3 \cdot K_{ey}}{100} , \quad (10)$$

де K_{ey} – відсоток витрат по утриманню та експлуатації обладнання до основної

заробітної платні. За розрахунками по аналогу $K_{ey} = 45\%$.

$$C_{ey} = \frac{256,4 \cdot 45\%}{100\%} = 115,38 \text{ грн}$$

б) цехові витрати визначаються у відсотках від основної заробітної платні виробничих працівників за формулою:

$$C_{ye} = \frac{C_3 \cdot K_{ye}}{100} , \quad (11)$$

де K_{ye} – відсоток цехових витрат до основної заробітної платні. Приймаємо

$K_{ye} = 45\%$.

$$C_{ye} = \frac{256,4 \cdot 45\%}{100\%} = 115,38 \text{ грн}$$

в) загальнозаводські витрати визначаються у відсотках від основної заробітної платні виробничих працівників:

$$C_{ze} = \frac{C_3 \cdot K_{ze}}{100} , \quad (12)$$

де K_{ze} – відсоток загальнозаводських витрат до основної заробітної платні. За

відсутністю даних приймаємо $K_{ze} = 40\%$.

$$C_{ze} = \frac{256,4 \cdot 40\%}{100\%} = 102,56 \text{ грн}$$

Вим.	Арк.	№ докум.	Підпис	Дата	Арк.
					51

11 Виробнича собівартість виробу, який проектуємо визначається як сума всіх розрахованих витрат за статтями калькуляції:

$$C_{\text{вир}} = Z_{\text{нок}} + Z_{\text{тр}} + C_e + C_3 + C_{\text{дод}} + C_n + C_{\text{інст}} + C_{\text{вн}} + C_{\text{дн}} + C_{\text{зп}} \quad (13)$$

$$\begin{aligned} C_{\text{вир}} &= 225 + 101,25 + 50,2 + 256,4 + 38,46 + 64,87 + 38,46 + 115,38 + 115,38 \\ &+ 102,56 = 1107,96 \text{ грн} \end{aligned}$$

12 Позавиробничі витрати визначаються у відсотках від виробничої собівартості виробу, який проектуємо і складають 3%:

$$C_{\text{на}} = 0,03 \cdot C_{\text{вир}}, \quad (14)$$

$$C_{\text{на}} = 0,03 \cdot 1107,96 = 33,24 \text{ грн}$$

13. Повна собівартість виробу:

$$C_{\text{пов}} = C_{\text{вир}} + C_{\text{на}}, \quad (15)$$

$$C_{\text{пов}} = 1107,96 + 33,24 = 1141,2 \text{ грн}$$

14. Визначення планових накопичень та договірної ціни проектуємого виробу:

а) планові накопичення визначаються з умов рентабельності виробництва до повної його собівартості за формулою:

$$\Pi = \frac{C_{\text{пов}} \cdot P}{100}, \quad (16)$$

де P – рентабельність виробу, %. У нашому випадку 15%.

$$\Pi = \frac{1141,2 \cdot 15\%}{100\%} = 171,18$$

б) договірна оптова ціна дорівнює:

$$U_{\text{опт}} = C_{\text{пов}} + \Pi, \quad (17)$$

$$U_{\text{опт}} = 1141,2 + 171,18 = 1312,38 \text{ грн}$$

15 ПДВ визначаються у відсотках від договірної оптової ціни виробу, який проектуємо і складають 20%:

$$\Pi_{\text{ДВ}} = U_{\text{опт}} \cdot 020 \quad (18)$$

Вим.	Арк.	№ докум.	Підпіс	Дата	Арк.
					S2

$$\text{ПДВ} = 1312,38 \cdot 0,20 = 262,48 \text{ грн}$$

16. Кошторисна вартість:

$$KB = \Pi_{\text{онт}} + \text{ПДВ} \quad (19)$$

$$KB = 1312,38 + 262,48 = 1574,86 \text{ грн}$$

Отримані розрахунки заносимо до таблиці 3

Таблиця 3 – Планова калькуляція собівартості

№ п/п	Стаття витрат	Сума, грн.
1.	Покупні вироби та напівфабрикати	225
2.	Транспортно-заготовільні витрати	101,25
3.	Витрати на електроенергію	50,2
4.	Основна заробітна плата	256,4
5.	Додаткова заробітна плата	38,46
6.	Нарахування на заробітну плату	64,87
7.	Витрати на відшкодування зносу спеціальних пристосувань та інструменту	38,46
8.	Витрати по утриманню та експлуатації	115,38
9.	Цехові витрати	115,38
10.	Загальнозаводські витрати	102,56
11.	Виробнича собівартість	1107,96
12.	Позавиробничі витрати	33,24
13.	Повна собівартість	1141,2
14.	Планове накопичення	171,18
15.	Оптова ціна	1312,28
16.	ПДВ	262,48
17.	Кошторисна вартість	1547,86

Вим.	Арк.	№ докум.	Лідпіс	Дата	Арк.
					53

Охорона праці та безпеки в надзвичайних ситуаціях

Причини виробничого травматизму і професійної захворюваності

Найбільш складним і відповідальним етапом у розслідуванні нещасного випадку є встановлення його причин. Дуже часто тут допускаються грубі помилки, що не сприяє розробці дієвих заходів щодо боротьби з травматизмом.

Допомога у встановленні причини нещасного випадку може надати один з методів системного аналізу — метод сітевого планування і управління (СПУ). Для визначення причини нещасного випадку як події вже совершилась мережева модель буде ся в зворотному порядку: від моменту травмування до подій, які йому передували. Методично виявлення причин розпадається на дві стадії: побудова мережової моделі ситуації й аналіз цієї моделі. Аналіз моделі проводиться у двох напрямках: визначення причини існування або появи небезпечної зони та виявлення причин, що викликали перебування людини в небезпечній зоні.

Один з авторів цього методу В. А. Ачин встановив чотири основні форми причинних зв'язків: (світлим прямокутником позначається первісна причина, що дала поштовх розвитку небезпечної ситуації, темним — остання причина, яка безпосередньо викликала травму, закінчення прояви причини позначається кружечком):

послідовна (мал. 1, а), коли перша причина викликає другу, друга — третю і т. д. до кінцевої причини, яка призводить до травми;

паралельна (мал. 1, б), коли дві або декілька паралельних зв'язків викликають одну загальну причину, що і призводить до травми;

кругова (мал. 1, в), коли перша причина викликає другу, друга — третю і т. д. до кінцевої причини, яка в свою чергу посилює першу, перша — другу і т. д. до тих пір, поки одна з них не призводить до нещасного випадку;

концентрична (мал. 1, г), коли один який-небудь фактор служить джерелом кількох причин, які, розвиваючись паралельно, викликають одну загальну причину, що приводить до травми.

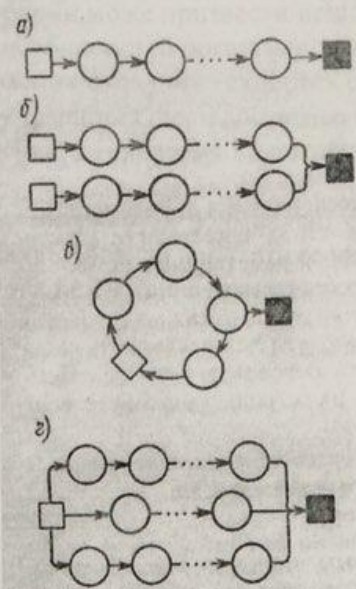
Зазначені форми причинних зв'язків у різних комбінаціях можуть слугувати складовими елементами складних мережевих моделей.

Досвід показав доцільність застосування цього методу для виявлення справжньої причини або причин нещасного випадку.

Аналізу нещасних випадків передує їх класифікація причин. Загальноприйнятої класифікації причин виробничого травматизму в даний час немає, проте більшість авторів виділяють кілька груп.

Технічні причини, котрі можна охарактеризувати як причини, що не залежать від рівня організації праці на підприємстві, а саме: недосконалість технологічних процесів; конструктивні недоліки устаткування, пристосувань, інструментів; недостатня механізація важких робіт; недосконалість огорож, запобіжних пристройів, засобів сигналізації та блокувань; міцнісні дефекти матеріалів; невідомі раніше небезпечні властивості оброблюваних середовищ і т. п. Ці причини інколи називають конструкторськими або інженерними.

Зми	Люк	М2. Люким	Ліданс	Лотто
-----	-----	-----------	--------	-------



Мал. 1. Різновиди форм причинних зв'язків:
а - послідовна; б — паралельне; в — кругова; г — концентрична.

Організаційні причини, що повністю залежать від рівня організації праці на підприємстві. До них, наприклад, відносяться: недоліки в утриманні території, проїздів, проходів, порушення правил експлуатації обладнання транспортних засобів, інструменту; недоліки в організації робочих місць; порушення технологічного регламенту, порушення правил і норм транспортування, складування і зберігання матеріалів і виробів; порушення норм і правил планово-попереджувального ремонту устаткування, транспортних засобів і інструменту; недоліки в навчанні робітників безпечним методам праці; недоліки в організації групових робіт; слабкий технічний нагляд за небезпечними роботами; використання машин, механізмів та інструменту не за призначенням; відсутність або недосконалість огорожень місць роботи: відсутність, несправність або незастосування засобів індивідуального захисту і т. п.

Санітарно-гігієнічні причини, до яких можна віднести підвищений вміст в повітрі робочих зон шкідливих речовин; недостатнє чи нераціональне освітлення; підвищені рівні шуму, вібрації; несприятливі метеорологічні умови; наявність різноманітних випромінювань вище допустимих значень; порушення правил особистої гігієні і т. п.

Психофізіологічні причини, до яких умовно можна віднести фізичні і первово-психічні перевантаження працюючих.

Людина може робити помилкові дії внаслідок втоми, викликаної великими фізичними (статичними і динамічними) перевантаженнями, розумовим перенапруженням, перенапруженням аналізаторів (зорового, слухового, тактильного), монотонністю праці, стресовими ситуаціями,

Змн.	Арк.	№ докум.	Підпис	Дата	Арк.
					55

хворобливим станом. До травми може привести невідповідність анатомо-фізіологічних і психічних особливостей організму людини характером виконуваної роботи. У сучасних складних технічних системах, в конструкціях машин, приладів і систем управління ще недостатньо враховуються фізіологічні, психофізіологічні, психологічні й антропометричні особливості та можливості людини.

Професійні отруєння можуть бути обумовлені усіма зазначеними вище причинами, а професійні захворювання найчастіше викликаються санітарно-гігієнічними і психофізіологічними причинами.

Змн.	Арк.	№ докум.	Підпис	Дата

Арк.

56

ВИСНОВОК

У даному проекті виконане проектування пластиначастого насоса типу

Г16-15АМ на параметри:

- робочий об'єм 144 см^3 ;
- частота обертання 1500 об/мин .

Спроектована гідравлічна машини об'ємного типу з обертою і реверсивною. Роторно-пластиначасний насос і гідромотор за формою витиснювачів і за способом замикання об'єму, що витісняється, відносяться до групи машин, в яких витиснювачі виконані у вигляді пластин (шиберів), поміщених в радіальних прорізах ротора, що обертається, а об'єми, що витісняються, замикаються між двома сусідніми витиснювачами і поверхнями статора і ротора. Отже, пластиначаста (шиберна) гідромашини (гідромотор або насос) це — роторна гідромашини з рухомими елементами у вигляді ротора, що сковує обертальний рух, і пластин, що сковують обертальний і поворотно-поступальний або поворотно-поворотний рухи. Ці машини, що одержали в практиці так само назву лопатевих, є найпростішими з існуючих типів і володіють за всіх інших рівних умов великим об'ємом робочих камер.

У даному проекті розроблені: креслення агрегату. Проектування виконане з урахуванням спеціальних вимог об'ємних гідромашин і загальних вимог машинобудування. Це дозволяє укласти, що спроектований насос задовільняє вимогам технічного завдання, сама конструкція є працездатною і надійною.

Підп. ім'я	Підп. ім'я	Підп. ім'я
Підп. ім'я	Підп. ім'я	Підп. ім'я
Підп. ім'я	Підп. ім'я	Підп. ім'я
Підп. ім'я	Підп. ім'я	Підп. ім'я

Арт.	Змін.	№ докум.	Підп.	Дата	Арк.	57

ЛИТЕРАТУРА

1. Ануров В.И. Справочник конструктора-машиностроителя. В 3-х т. Изд.6-е. М.: Машиностроение, 1982. Т.2. - 584 с., т.3.- 576 с.
2. Атлас конструкций гидромашин и передач. Бим-Бал Б.М., Кабаков М.Г., Прокофьев В.Н. и др. - М.: Машиностроение, 1990.-136 с.
3. Башта Г.М. Машиностроительная гидравлика. Справочник.- М.: Гос. науч.-техн. из-во машиностроительной литер., 1963- 6996 с.
4. Башта Г.М. Объемные насосы и гидродвигатели гидросистем.-М.: Машиностроение, 1974.- 606 с.
5. Боддин Л.А. Основы взаимозаменяемости и стандартизации в машиностроении.- 2-е изд.- М.: Машиностроение, 1984.- 272 с.
6. Вильнер Я.М., Ковалев Я.Г., Некрасов Б.Б. Справочное пособие по гидравлике, гидромашинам и гидроприводам.- Минск: Вышгизшшкола, 1976.- 416 с.
7. Зайченко И.З., Мыслевский Л.М. Пластинчатые насосы. Изд.2-е.- М.: Машиностроение, 1970. -229 с.
8. Общетехнический справочник. Под ред. Е.А.Скороходова. изд.4-е. М.: Машиностроение, 1990.- 496 с.
9. Орлов Н.И. Основы конструирования. Справочно-методическое пособие в 3-х кн. М.: машиностроение, 1977. т. 1-623 с, т2- с, т3-360 с.
- Ю.Петров В.Л. Гидрообъемные трансмиссии самоходных машин. — М.: Машиностроение, 1988. —248 с; П.Писаренко Г.С. и др. Справочник по сопротивлению материалов. К.: Наукова думка, 1975.- 704 с.
10. Белецкий Д.Г. Технология насосостроения. Учебное пособие для машиностроительных техникумов. — М.: «МАШГИЗ», 1956. — 512с.
11. Методические указания по оформлению текстовых документов (курсовых и дипломных проектов) / Сост.: Ю.В. Хмельницкий. — Сумы: Изд-во СумГУ, 1997. — 43 с.

Арт.	Файл	Модуль	Ном.	Доза	Арк.
					58

12. Методичні вказівки до виконання розділу ЕОМ кваліфікаційної випускної роботи спеціаліста та магістра за професійним напрямом підготовки 0905 "Енергетика" зі спеціальності 7.000008 "Енергетичний менеджмент" та напрямом 7.000209 "Гідравлічні і пневматичні машини" для студентів денної та заочної форм навчання/ Укладач: О.М. Кочевський. – Суми: Вид-во СумГУ, 2005. – 15с.
- 13.Методические указания к выполнению экономического раздела дипломного проекта для студентов специальности "Гидравлические машины, гидропривод и гидропневмоавтоматика" – 1997.
- 14.Методические указания к выполнению технологического раздела дипломного проекта по специальности 12.11 для студентов дневной и заочной формы обучения. Сост.: А.С. Мандрика. – Сумы: Изд-во СумГУ, 1994. – 23с.
- 15.Видные Я.М., Ковалев Я.Т., Некрасов Б.Б. Справочное пособие по гидравлике, гидромашинам и гидропередачам. Под ред. Б.Б. Некрасова. Минск, «Высшая школа», 1976. – 416с.
16. Приводы машин. Атлас конструкций в пяти частях. Часть 1. Под ред. П.Н.Учаева.- Кит: Вища школа, 2001.- 455 с.
- 17.Самохвалов Я.А. и др.Справочник техника-конструктора. К.: Техника, 1975. - 568 с.
- 18.ИСвенников В. К., Усов А. А. Станочные гидроприводы. Справочник. 2-е изд. — М.: Машиностроение, 1988.— 512 с.
- 19.Центрические насосы и гидромоторы. Зайченко И. З. и Мышилевский Л. М. «Машиностроение», 1970, стр. 229.
20. Курсовое проектирование деталей машин: Учеб. пособие для учащихся машиностроительных специальностей техникумов / С. А. Чернавский, К. Н. Боков, И. М. Чернин и др. — 2-е изд. перераб. и доп. — М.: Машиностроение, 1987. — 416 с., ил.

Ім'я	Фамилія

Ар.	Зап.	№ докум.	Підп.	Дата

Арк.

59